

MICROFICHE NE

05509

République Tunisienne

MINISTERE DE L'AGRICULTURE

CENTRE NATIONAL DE

DOCUMENTATION AGRICOLE

TUNIS

المنعورة النونسائية

المركزالقومي للتوثيقالفلاحي نوسس



CNDA 5509

MINISTEPE DE L'AGRICULTURE

BIRECTION DES RESSOURCES EN SAU ET EN SOL

DIVISION DES SOLS

LA CARTOGRAPHIE DE L'OCCUPATION DES SOLS A PARTIR DES IMAGES SATELLITES (LANDSAT) APPLIQUEE A LA TUNISIE CENTRALE

Rapport de stage aux U.S.A. du 25 Avril au 6 Juin 1980

LAND USE / COVER MAPPING FROM SATELLITE LANDSAT IMAGERY APPLIED TO CENTRAL TUNISIA

Training report in the U.S.A. from April 25th to Jene 6th 1980

Par, BY : Ali HAMZA, Géomorphologue Principal, Chef du laboratoire de Télédétection Abderrahmane MAMI, Ingénieur Principal, Chef du Service de la Cartographie et de l'Expertise des Sols

E-S 182

MINISTERS DE L'ACRICULTURE

DIRECTION DES RESSOURCES EN EAU ET

DIVISION DES SOLS

A PARTIR DES IMAGES SATELLITES (LANDSAT) APPLIQUES A LA TUNISIE CENTRALE -

- Rapport de Stage aux U.S.A. du 25 Avril au 6 Juin 1980 -
 - LAND USE/ COVER HAPPING FROM SATELLITE LANDSAT
 DEGERY APPLIED TO CENTRAL TUNISIA -
- Training report in the U.S.A. from April 25th to June 6th

PAR, BY.

ALI HAMZA, Géomorphologue principal, Chef du laboratoire de Télédétection

AEDERRAHMANE MAMI, Ingénieur principal, Chef du Service de la Cartographie et de l'Expertise des sols

MINISTERE DE L'AGRICULTURE

DIRECTION DES RESSOURCES EN EAU ET EN SOL

DIVISION DES SOLS

- LA CARTOGRAPHIE DE L'OCCUPATION DES SOLS A PARTIR DES IMAGES SATELLITES (LANDSAT) APPLIQUES A LA TUNISIE CENTRALE -

- Rapport de Stage aux U.S.A. du 25 Avril au 6 Juin 1980 -
 - LAND USE/ COVER MAPPING PROM SATELLITE LANDSAT
 IMAGERY APPLIED TO CENTRAL TUNISIA -
- Training report in the U.S.A. from April 25th to June 6th

PAR, BY.

ALI HAMZA, Géomorphologue principal, Chef du laboratoire de Télédétection

ABDERRAHMANE MAMI, Ingénieur principal, Chef du Service de la Cartographie et de l'Expertise des sols Le stage que nous avons entrepris aux U.S.A. du 27 Avril au 6 Juin 1980 trouve son origine dans le séminaire sur la télédétection des ressources terrestres organisé conjointement par l'USAID et la DPES du 21 au 31 Mai 1980. En effet le contrôle sur le terrain des interprétations faites des images satellites par le groupe sol et végétation dans le Centre a démontré tout l'intérêt de ces documents en matière d'utilisation des sols. Un projet d'évaluation de l'apport des images Landsat à la cartographie de l'occupation des sols a été soumis et approuvé par la DRES, l'USAID et l'ERIM Michigan.

L'objectif du projet a été de réaliser une carte statique et multi-temporelle de l'occupation des sols de la région de Gafsa El-Ayacha, à partir des images Landsat du 7 Février 73 et du 2 Janvier 1980. Le choix de catte région s'explique par les faits suivants :

- c'est une région assez vaste correspondant aux cartes au 1/200.000° suivantes (en partie) : Gafsa et Ayacha Shéltla Fériana Kébili Tozeur. Elle fait approximativement 12000 km2 de superficie (Fig. 1 et 2).
- c'est une région choisie à titre expérimental pour la simplicité et la variabilité de l'occupation des sols qu'elle offre.
- elle constitue le prolongement méridional de la région de Sidi Bou-Zid Fériana Kasserine Haknassy syant été cartographiée au 1/100.000° à partir des photographies aériennes classiquespar H. ATTIA. Nous avons inclu. volontairement dans la région étudiée les deux cartes de Maknassy et de Fériana, partie Sud, afin de comparer l'apport des deux méthodes.

L'étude s'est poursuivie de Septembre 1979 jusqu'à Septembre 1980 en 7 étapes (Fig. 3).

- La lère étape a consisté en une interprétation visuelle des tons, couleurs et textures de l'image fausses couleurs de la région de Cafsa du 7 février 1973. Toutes les couleurs hamogènes ont été reconnues comme unités provisoires.

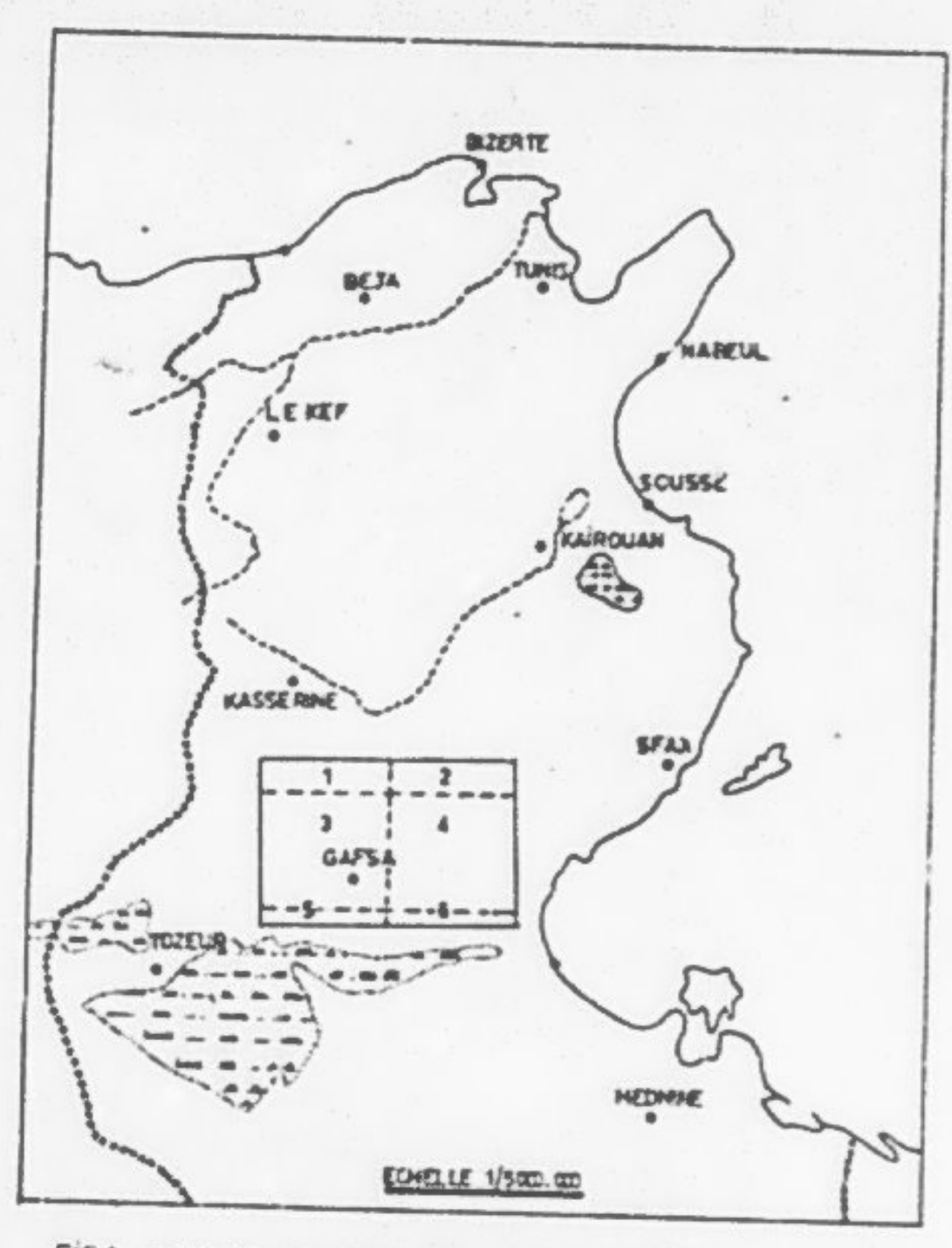


FIG.1 _ CARTE DE LOCALISATION DE LA ZONE ETUDIEE ET CARTES TOPOGRA-PHISUES AU 1/200,000 CORRESPONDANTES.

1_ FERLANA

2-SBEITLA

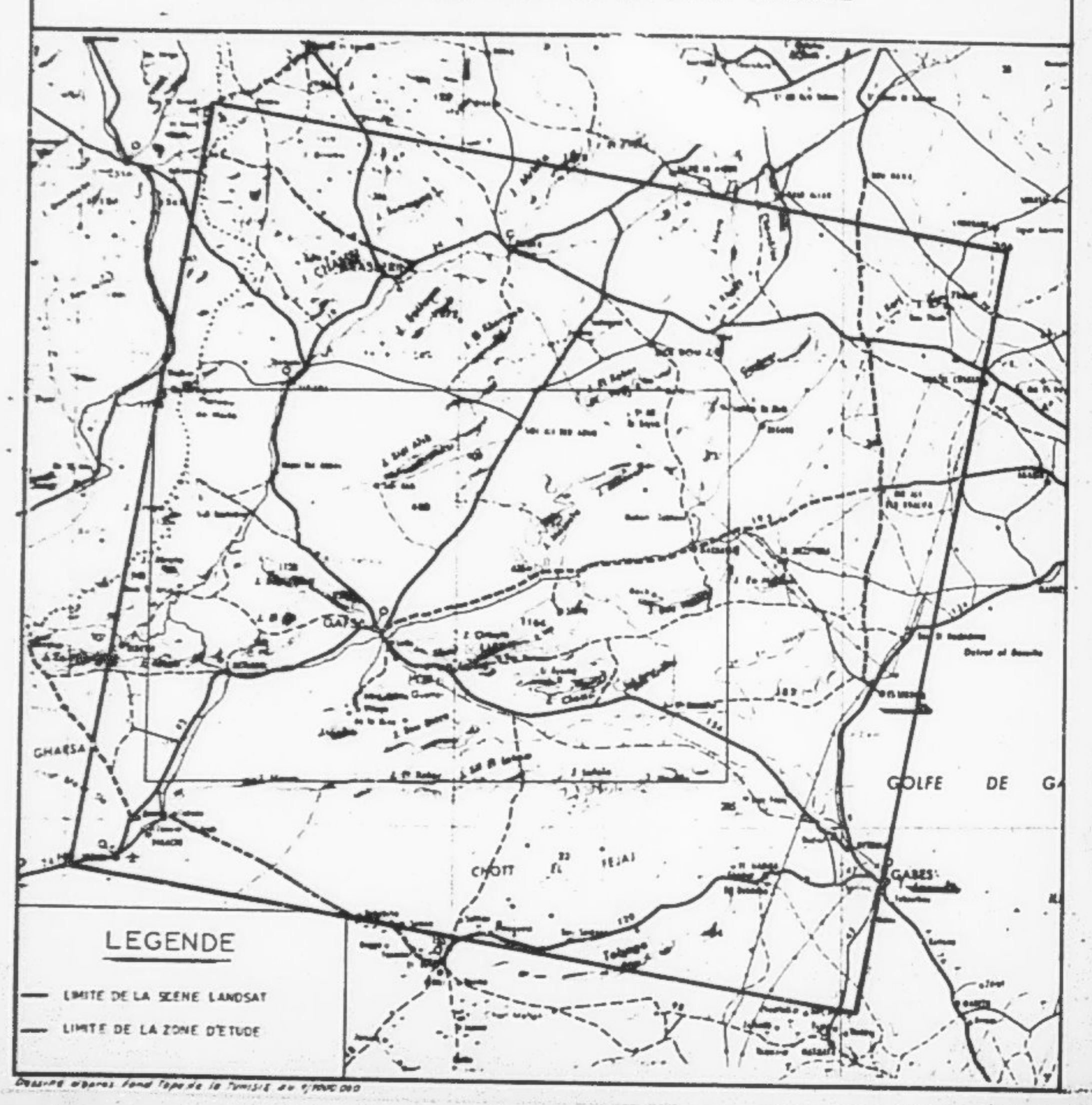
3_GAFSA

4-EL ANACHA

S-TOZEUR

S_KEBIL!

FIGZ IMAGE LANDSAT DU 7 FEVRIER 1973 AVEC LOCALISATION DE LA ZONE ETUDIÉE



SEP OCT HOY DEC JAN FEY MARS AVR MAI JUIN JUIL ADUT SEP

- PREPARATION A ERIM DE L'INTER--PRETATION NAMUELLE (SEENE1973)
- 2 CONTROLE ET CORRECTION EN TUNISSE CHOIX FINAL CES POINTS DE CONTROLE
- DONNEES LANDSAT(SCENE 1980)
- 4 STAGE DES INGENEURS TUNISIENS A ERIM ET CLASSIFICATION AUTO--NATIQUE
- S REDACTION HAPPORT FINAL

EIG. 3. SCENARIO DU PROJET CARTOGRAPHIE DE L'OCCUPATION DES SOLS EN TUNISIE CENTRALE .

1

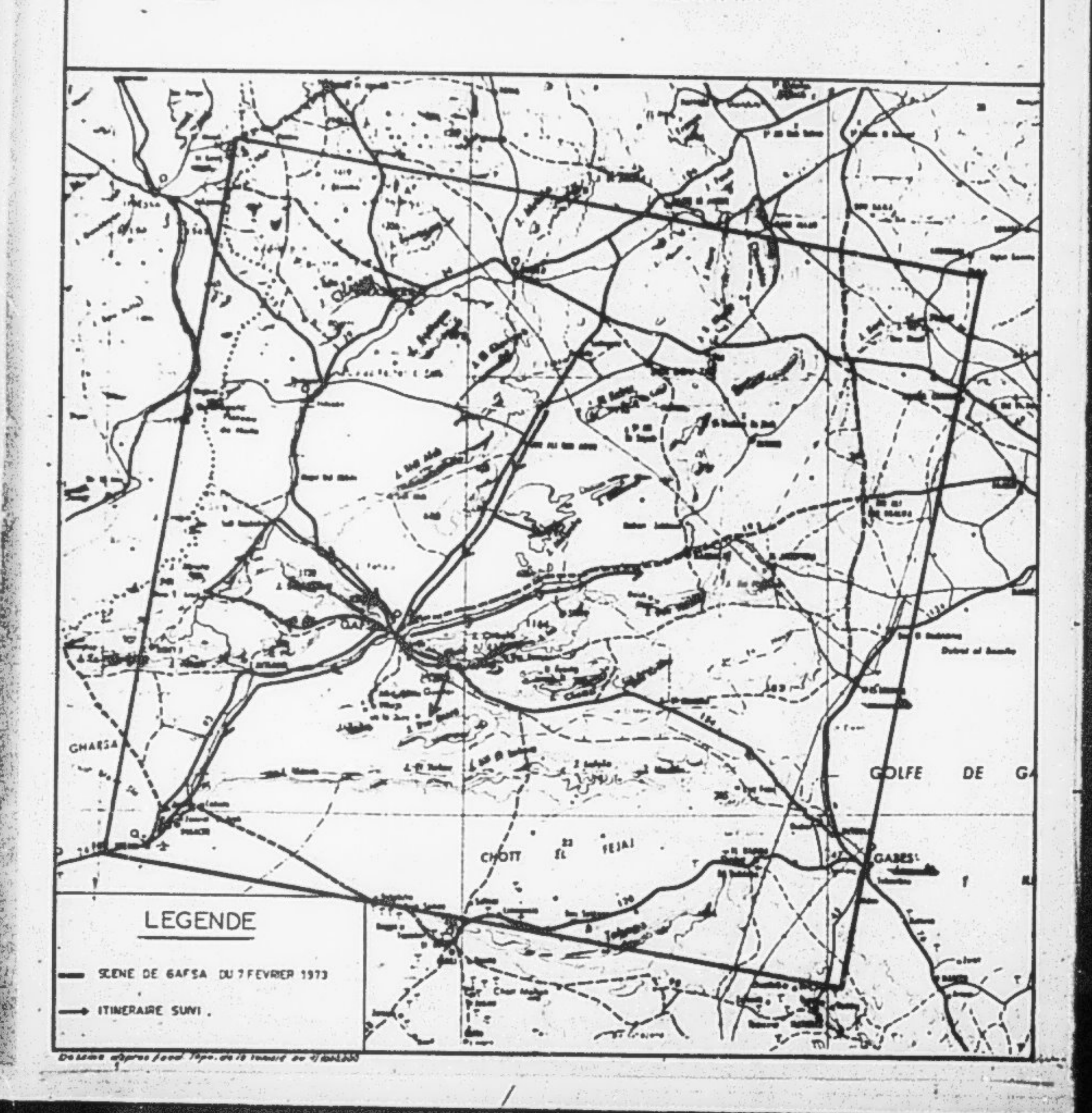
50000000

- La 2° étape a consisté à contrôler le document sur le terrain et à préparer les sites d'entrainement représentant des échantillons d'unités homogènes bien localisés sur les photographies aériennes et les cartes topographiques, indispensables pour la classification automatique d'après l'itinéraire ci-contre (Fig. 4).
- La 3° étape a consisté à acquérir une banda magnétique représentant le nême région mais plus récente (2 Janv. 1980) afin de réaliser la carte multitemporelle ou carte de détection des changements.
- Le 4° (tape a consisté en notre départ en stage aux U.S.A. a FRIM Michigan afin de poursuivre l'étude entreprise à Tunis par l'interprétation automatique. En plus de la description détaillée des 34 sites d'entrainement choisis, nous avons pris avec nous les cartes et les études géologiques, phytosociologiques, géographiques et pédologiques, existantes et intéressant la région, en plus des cartes topographiques au 1/50.000°, su 1/200.000° et su 1/1.000.000°.
 - La 5° étape a consist5 en la rédaction du rapport final du projet.

La stage proprement dit, étant la phase la plus importante de le projet, a été poursuivi selon le programme suivant :

- 1/- Correction géométrique des images Landrat à partir des points de contrôle afin d'obtenir des fonds topographiques superpossibles aux cartes au 1/200.000°.
- 2/- Digitalisation des données de sol à partir de la carte pédologique de la Tunisie au 1/200.000°.
 - 3/- Interprétation visuelle de l'image du 7 février 1973.
- 4/- Comparaison de la carte obtenue de l'interprétation précédente avec l'image de l'année 1980.
- 5/- Classification automatique de l'image de l'année 1973 et comparaison de la carte obtenue avec le résultat de l'interprétation visuelle.
- 6/- Interprétation visuelle et automatique d'une partie de la scène de 1980.

FIG4 ITINERAIRE DE LA VERITE - TERRAIN



7/- Comparaison automatique des changements obtenues sur la classification digitale de 1973 et de 1980.

Nous essayons de rendre compte de tout cela dans ce qui suit en traitant successivement les 3 thèmes suivants :

- la carte d'occupation des sols par interprétation manuelle,
- la carte d'occupation des sols obtenue par classification automatique,
- l'image pour détection de changement de l'occupation des sols entre 1973 et 1980.

1.- Cartographie manuelle de l'occupation des sols :

L'interprétation visuelle préparée à Tunis a été faite sur une image en fausses couleurs à l'échelle 1/150.000° environ, produite dans les laboratoires de l'ERIM et non corrigée géométriquement. Après la correction géométrique sur ordinateur, nous avons jugé utile de reprendre la classification visuelle de la nouvelle image correspondant à un fond topographie au 1/200.000°. Le principe d'interprétation est très simple. Il s'agit de reconnaître comme unité les couleurs, les textures et les tens homogènes. L'identification de ces unités est réalisée grâce aux observations faites sur le terrain et grâce aux documents divers dont nous disposons pour la région. Par extrapolation l'information est généralisée sur toute l'image. Certaines unités très petites pe sont pes cartographiées en tant que telles mais incluses dans des unités plus vastes. Lorsqu'elles représentent une part importante de cette dernière, on aboutit à une unité complexe, ex. l'unité d'Alfa dégradé et de céréales caractérisant la région entre l'Oued El Kébir et le Dj. Younès. D'une façon générale nous avons trouvé une bonne corrolation entre les grandes classes de sel de la carte pédologique de la Tunisie au 1/500.000°, et les signatures spectrales apparaissant sur l'image en fausses couleurs. C'est pour cette raison que les classes d'occupation des sols ont été rangés par grandes catégories de sols. En gros 39 unités ont été cartographices. La signification d'occupation des sols est prise au sens le plus général. Elle désigne à la fois l'utilisation et le recouvrement des terres à savoir le " Land Use/ Land Cover ' des américains. Les cles d'interprétation de la scène fausses couleurs ont dté les suivantes:

⁻ Pour ce qui est des cultures annuelles et irriguées, plus la vé-

gétation est dense et bien portante plus elle réfléchit dans la bande rouge (7) et plus elle apparaît rouge. Le cas de champs d'orge sur alluvions faiblement salés de la région des Séguis est significatif à cet égard. La couleur rouge dépend de la densité de végétation mais aussi de l'importance de la chlorophyle dans cette végétation. Soins la plente est pourvue en chlorophylle, moins rouge se présente sa signature spectrale : c'est le cas des oasis, ex. l'oasis de Gafsa.

- Les végétations naturelles apparaissent grisâtres (ex.l'alfa)
 blanchâtres (ex.les végétations clairsenés des sols sableux de la région de
 Gafsa) à grisâtres blanchâtres (c'est le cas de la végétation des sebkhas).
 La teinte bleuâtre indique d'une façon cénérale la présence de l'esu sous
 une forme ou une sutre.
- Les sols nus qui sont caractérisés par une réflection presque égale de tous les rayonnements apparaît en blanc. Ils supposent par là sux embres qui se caractérisent par une absorption de tous les types de rayonnement et apparaissent ainsi en noir.
- La cas de l'arboriculture est complexe. Etant donné qu'elle est très clairsenée, la signature spectrale caractéristique jaunêtre correspondant à un mélange de végétation et de sol nu. C'est le cas dans la région de Haknassy, Sidi Bou-Zid.

A la lumière de ces donnJes gánérales, l'interprétation a été entreprise aboutissent à la classification suivante :

1/- Les zones d'ombre : étant donné que l'image est prise vers
9h 30 du matin, des ombres existent sur les flancs NV des montagnes de la
région donnant un effet d'estompage inverse des cartes topographiques.
Ces ombres sont à l'origine d'une perte de l'information qu'on pourrait résoudre en faisant appel aux photographies aériennes par exemple. C'est le
cas dans les Djabels Orbata et Chambi.

2/- Les sols dénudés de montagne : Tous les flancs érodés sans couverture végétale dense apparaissent dans une teinte blanchêtre à légérament aoirêtre sous l'effet d'ombre locales, ex. Le piemont méridienal du Dj.Bou-Hedma. 3/- Les fonds d'Oued : Ils ressortent, dans une teinte bleuâtre à blanchâtre bien marqué particulièrement dans le cas des Oueds Kébir et Alch et par là ils sont facile à reconnaitre.

4/- Les sols caillouteux à topographie chahutée à perdominance d'Alfa. Ils occupent en grande partie les zones MordOuest de l'image correspondant à la région de Fériana, Majène
Bel Abbas. L'Alfa en bon état (3 a) se distingue facilement par
sa signature spectrale grisêtre de l'Alfa moyen (3b) de l'Alfa
dégradé (3c) et de l'Alfa en sesociation avec de l'orge dans les
vallons, (3 d et 3 e).

5/- Les sols caillouteux des cônse de déjection : ils apparaissent bleuâtres à cause de l'humidité à la suite probablement d'une pluie importante, et sont localisés sur le flanc méridionel du Dj. Bou-Hedma et Orbata.

6/- Les sols de plaines à végétation subdésertique. Ils correspondent aux épandages sableux et aux cuvettes humides de la région se trouvant au Nord de Gafsa. Les cuvettes sont localement cultivées en orge et cactus (5b), quelquefois, de taille importante (5c) ou cultivées en cactus (5d).

7/- Les sols peu évolués d'apport à texture fine cultivés en orge.

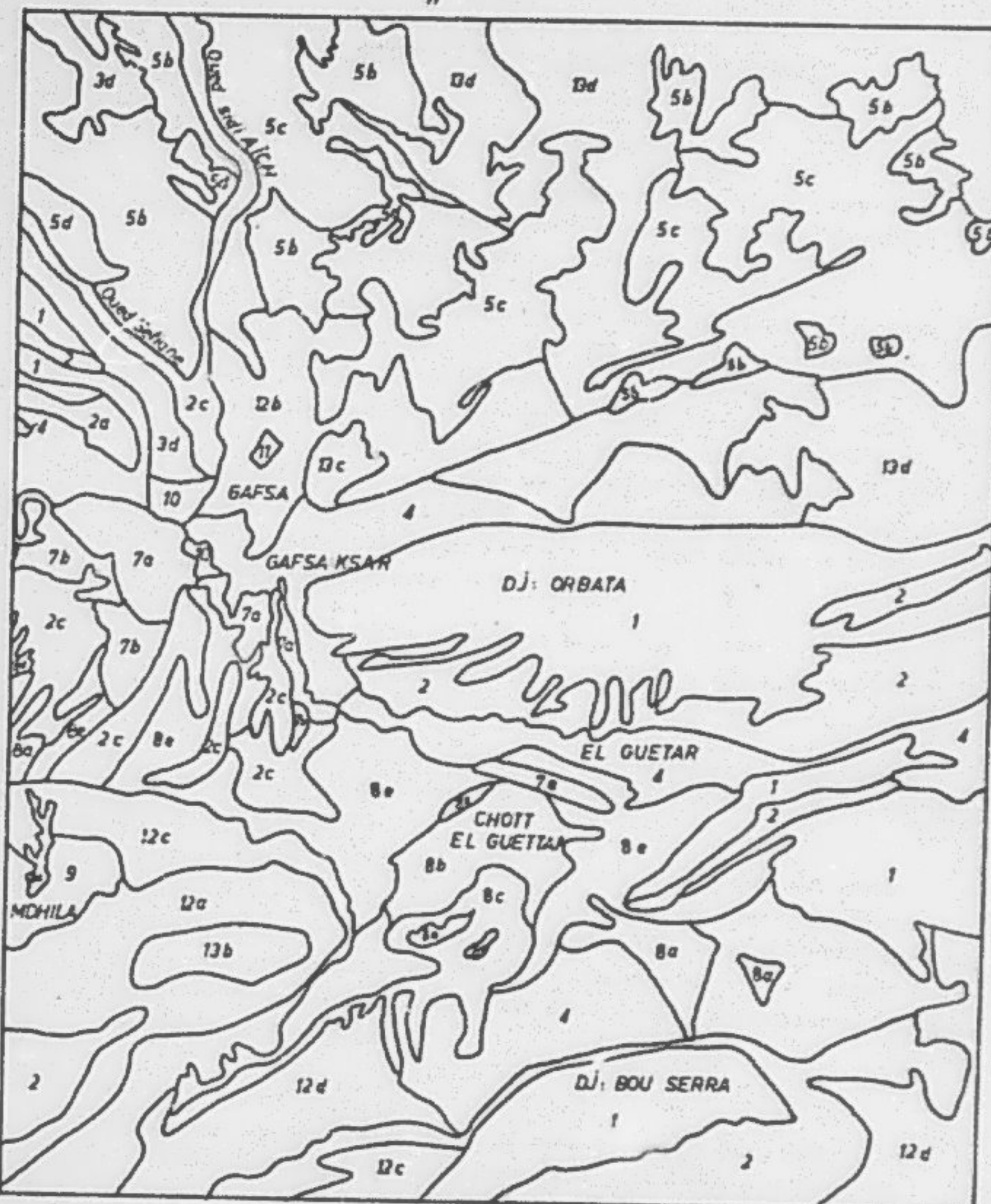
Ils correspondent aux fonds des vallons occupant diverses régions de l'image. Sur le plan spectral, il n'y a aucune différence entre les sols non salés (6d) et les sols légèrement salés cultivés en orge (6e) cette donnée provient de la carte pédologique. La dernière catégorie est constituée par les sols salés non cultivés (6 h).

8/- Les Oasis : Ils ressortent dans une teinte marron sombre (7 a). Les forages, correspondant à une densité de palmiers faible, apparaissent plus claires : cas de l'oasis de Gafsa et d'El-Guettar (7b).

9/- Les sols salés : 7 catégories de signatures ont été détectées correspondant à cette calesc. Les sols salés à nappe affleurante de Sebkhet Sidi Mansour (8 g) apparissent bleus foncés à noirâtres. Ceux de Chott El-Guettar, foncés à légèrement rougeàtres correspondent à des sols à végétation dense (8 c). Les sols sans végétation apparaissent blanchâtres bleuâtres à cause de l'humidité (8 a). Les autres catégories sont les suivantes :

- sols selés à végétations peu denses (8 b)
- sole salés à végétations très denses (8 d) et (8e)
- sols salés à dépôts salins superficiels (8f).
- 10/- 'es mines et zones de pollution par le phosphate (9) correspondent à une teinte bleuâtre soubre au niveau de Metlacui et de M'Dhilla. Ces zones de péllution présentent une légère confusion avec les secteurs humides et les secteurs urbanisés (10).
- II/- Les zones urbanisões : il s'agit de la ville de Gafsa et d'El Guettar légèrement étendues pour être détectées dans une teinte bleue sombre (10).
- 12/- Les zones reboisées : il s'agit d'un parc qui se trouve au Nord de Cafsa (11).
- 13/- Différentes catégories de sols gypseux en association avec des régosols (12 a et 12 b) dont certains sont cultivés en orge (12 b) et les sols à croûte ou encroûtement gypseux (12 c).
- 14/- La dernière est la catégorie des sols de plaine à texture moyenne à grossière correspondant à l'arboriculture et à la céréaliculture (13 b), aux vergers (13 a), au cactus (13 e), aux céréales en association avec de l'arboriculture (13 c), et aux parcours prédominant (13 d).

Cette méthodologie nous a permis ainsi d'obtenir une carte d'occupation des sols au sens le plus large, de distinguer beaucoup de calsses dont certaines sont des associations de plusieurs unités. Il apparait que l'image Landsac comme la photographie aérienne donne une image fidèle de la réalité géographique qu'il est possible de synthétiser et de classer. Toutefois avec l'image Landsat la résolution nous empêche de détailler ce qui n'est pas le cas des photographies aériennes. Le niveau de détail permis par l'image Landsat est tout à fait satisfaisant dans le cas de l'échelle 1/200.000°. Certaines confusions spectrales peuvent être limitée par la vérité terrain et par les sources auxiliaires (Fig. 5).



-- FIG.5 - Extrait de la carte d'occupation des sois de la région de gafsa au 1/200 ma abtenue par interprétation manuelle.

___ LEGENDE : Voir terte .

II .- TRAITDENT INFORMATIQUE DES DIACES LANGSAT

1 .- Correction géom'trique des inages Landast

Avent de procéder à la cartographie manuelle ou automatique, nous avons été amenés à corriger géométriquement les images Landsat de 1973 et 1980 et ce, en nous aidant de l'ordinateur.

Pour cela, nous avons localisé des points de contrôle sur les cartes d'Etat Major su 1/50.000° et su 1/100.000° puis sur l'image Landsat projetée sur écran (39 pour l'image 73 et 40 pour l'image de 80).

Des sorties ord —ur imprimées nous ont permit de vérifier l'erreur comme se sur la localime des points en fonction des données Pitch — 2011 — Tau du satellite (1). Pou btenir une bonne corraction géométrique, la valour de l'erreur doit être inférieure ou égale à 50. Il est à signaler que, pour la scème 1980, la correction était plus difficile. Celle-ci, fournie par Téléspasio comportait :

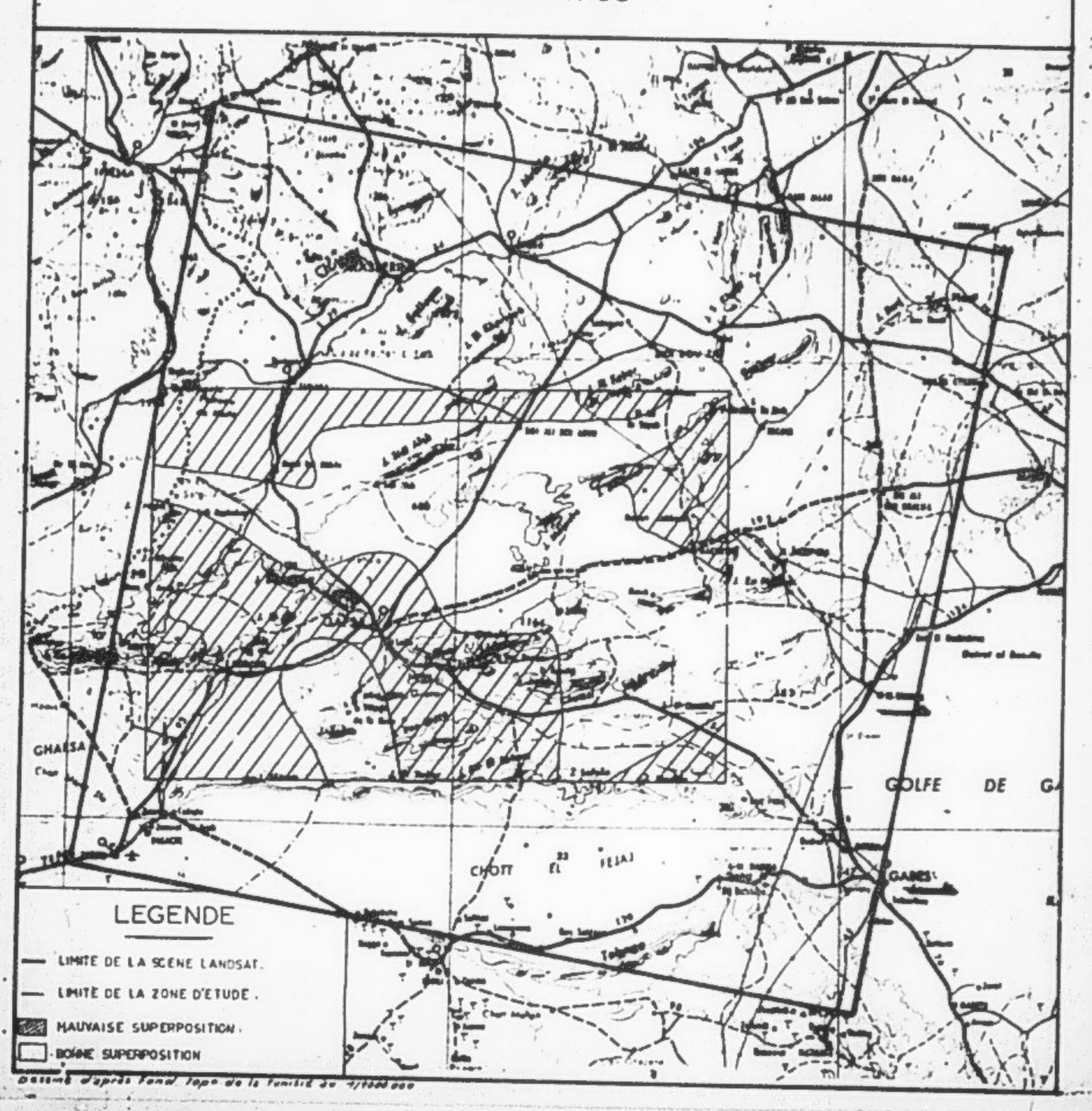
- un manque de données sur le pitch et le raw,
- un certain nombre de pixels remplis artificiellement à cause du manque de données.

La superposizion des 3 cansux correspondant sux deux scènes corrigées est de ce fait excellente pour certaines soncs et très mauvaise pour d'autres (Fig. 6).

Ainsi deux images fausses couleurs corrigées géométriquement ont été générées au 1/200.000° à partir des bandes 4, 5 et 7. La superposition des films correspondant à chacume des bandes a été faite manuellement sur une table luminouse et à l'aide d'une loupe et ce, avec une grande précision. Un agrandisseur Durst a été utilisé pour l'agrandissament et pour la génération des images.

⁽¹⁾ Ce sont les coup d'aile, coups de queue et tangage du satellite qui introduisent des distortions sur l'image. Les bandes magnétiques EROS portent une valeur estimant cette distortion et permettent leur correction. Sur les bandes Telespasio cette valeur n'existe pas.

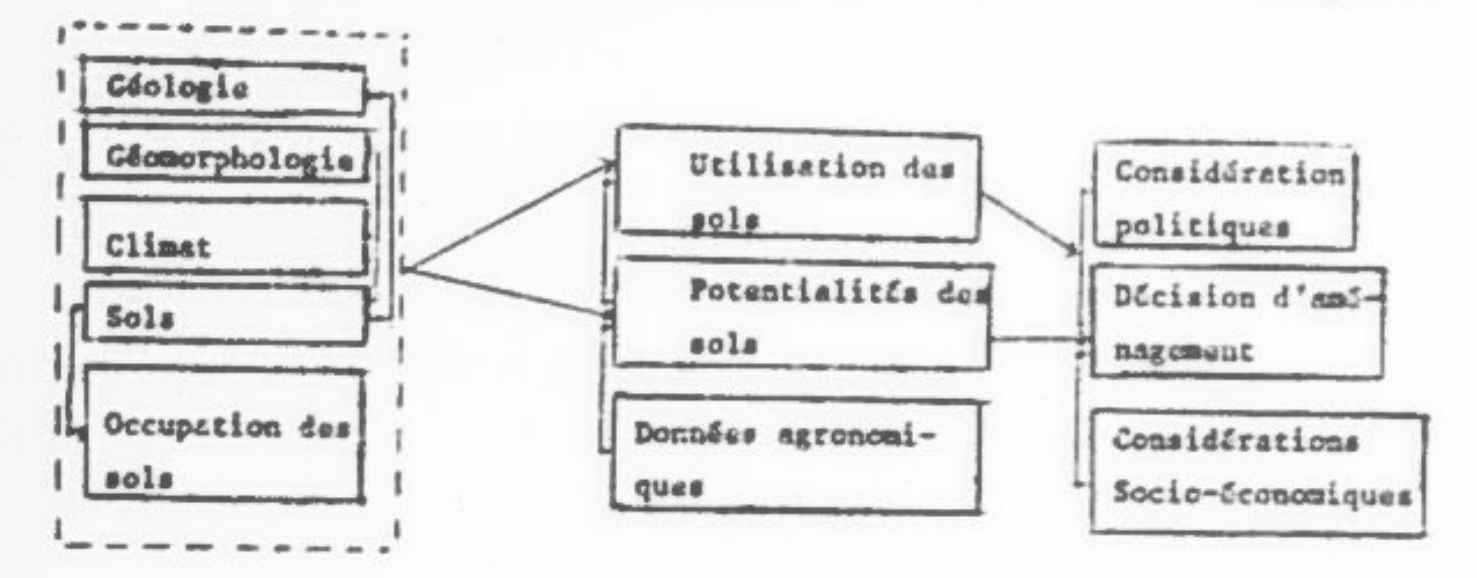
FIG:6 SUPERPOSITION ENTRE LES SCENES 1973 et 1980



2.- Interprétation et cartographie automatique de l'image 1973 (*)

Me connaissant pas les possibilités d'utilisation de l'ordinateur et ne disposant pas d'une méthodologie précise d'approche, nous avons été amenés à faire plusieurs tentatives de classement nous permettant d'obtenir le maximum de renseignements et d'utiliser le maximum de données disponibles (sols, végétation...).

Nous avons pensé à travailler sur le schéme suivant : montrant les interdépendances entre les caractéristiques du milieu qu'il faut prendre en considération pour prendre une décision d'aménagement.



2.1. - Essai de digitalisation des données pédologiques

Nous avons pensé qu'il y surait une bonne relation, dans les milieux arides, entre les sols et les signatures spectrales. Nous avons donc me essayé de digitaliser les sols, à partir de la carte pédologique et d'ajouter, à partir des images Landsat leur occupation. Etant donné le temps limité, nous avons utilisé la carte pédologique au 1/500.000° de façon à avoir une idée sur les possibilités qu'offre l'ordinateur.

Celui-ci enregistre exactement les limites des différentes unités de sols que nous lui transmettons à l'aide d'une manette qui lit ces limites sur la carte pédologique. Nous avons donc ajouté un 9è canal dans l'ordinateur comprenant les classes de sols données dans le tableau n°7.

⁽⁺⁾ Nous avons fait toutes les tentatives préliminaires de cartographie sur l'image 1973.

En plus, afin de tenir compte d'un facteur important influençant la végétation, à savoir la topographie, nous avons regroupé les différentes unitée de sols en 4 classes, ce qui ajoute un 108 canal.

- Montagnes et collines : 4 5 6
- Piedmonts: 1 9 10 11- 12 -13 16 20 23.
- Plaines: 14 15 17 18 19 21 22.
- Dépressions : 2 7 8 24 25 26 27 28 .

L'idée était d'arriver à ce que l'ordinateur ne fasse pas apparaitre, dans le classement final, une végétation dans une zone où elle ne peut pas exister ex : l'alfa dans une dépression ou une végétation halophile en zone montagneuse.

Pour celà, nous avons selectionné des points d'observation correspondant aux différentes classes obtenues dans la classification nanuelle et correspondant à différentes zones topographi à dans le cas où celà peut arriver. Nous avons choisi 43 points répartie comme suit :

Not	stagnes et collines		Plaines
Classes	Points de contrôle	Classes	Points de contrôle
1	1	5 b	31
2	2 - 3	5 c	32
3 a	6	5 d	33
3 c	8 - 9	13 a	34
Pi	edmonts	13 Ъ	35
3 a	11	13 c	36-37-37
3 b	13 - 14	13 d	39-40-41
3 c	17 - 18	13 €	42
3 d	19 - 20	13 £	43
4	21 - 22	12 b	44
12 a	23 - 24	12 c	45
9	25	12 d	46
Dép	ressions	12 a	47
6 a	51	12 f	48
5 e	52	10	49
6 f	53	11	50
7 a	54		
7 5	55		
8 a	56		
8 b 8 c 8 d 8 e	57 58 59 60		

- TABLEAU Nº 7 : CLASSES DES SOLS DIGITALISEES

Sols mindraux bruts

- I Reg de roche ou de croute
- 2 Sols d'apport solien
- 3 Sols d'apport fluviatile
- 4 Lithosols
- 5 Régosole
- 6 Lithosole régosols (associés à de rares sols calcimorphes).

Sols peu évolués

- 7 Sols d'apport modaux et sols d'apport hydromorphes
- 8 Sols d'apport probablement salés
- 9 Sole d'apport modaux associés à des lithosols.

Sols Calcomagnésimorphes

- 10- Rendzines et sols bruns calcaires sur croute ou conglomérat.
- Il- Lithosols et rendzines sur croute ou conglomérat
- 12- Sols calcimorphes et lithosol, régosols
- 13- Sols calcimorphes, lithosols et (ou) régosols sur roche géologique et localement sur croûte calcaire.
- 14- Sols peu évolués ou sols gris-Subdes associés: à des sols à croûte ou encroûtement gypseux.
- 15- Sols à croûte ou encroûtement gypseux
- 16- Sols gypseux associés à des régosols
- 17- Sols à encroûtement gypseux et sols peu évolués d'apport.

Sols isohumiques

- 18- Sols bruns et brun rouges
- 19- Sols bruns encrodtés
- 20- Sols bruns associés à des lithosols
- 22- Sols bruns associés à des sols à croûte ou encroûtement gypseux.
- 23- Sols bruns associés à des sols calcimorphes ou des lithosols sur croûte ou encroûtement calcaire.

Sols halomorphes

- 24- Sols très salés encroûtement salin superficiel
- 25- Sols très salés à encroûtement gypseux de nappe
- 26- Sols salins A horizon superficiel friable
- 27- Sols à alcali très salés
- 28- Sols à alcali peu ou moyenmement salés.

Toutefois, cette méthode ne nous a pas permis d'obtenir une carte convenable à cause de la différence d'échelle entre les données de l'image Landant et de la carte pédologique.

Hous ne pouvons de ce fait donner une conclusion définitive sur cette méthodologie étant donné que nous n'avons pas eu le temps d'essayer d'autres approches à savoir :

- donner les renseignements sur le relief en digitalisant directement à partir de l'image Landsat.
- opérer une digitalisation des données pédologiques à partir de cartes à plus grande échelle.
 - 2.7.- Classement et cartographie automatique détaillée de l'occupation des sols.

Etant données les difficultés rencontrées nous avons été amenés à établir une carte sans introduire les canaux 9 et 10 (Sols et relief). Leur introduction était toutefois faite occasionnellement de façon à vérifier sur l'écran l'emplacement d'un point d'observation par rapport au relief. Ceci devait nous permettre de tenir compte autant que possible de la signature d'une même classe dans différentes positions topographiques.

Cette méthode nous a amené à faire plusieurs essais et vérifications. Chaque essai était vérifié sur l'écran et en même temps sur les tables imprimées données par l'ordinateur, les points d'observation les moins significatifs étant éliminés. C'est minsi qu'après une vingtaine d'essais nous sommes partis d'une carte préliminaire comportant 40 classes et 51 points d'observations pour arriver à une carte détaillée finale comportant 16 classes et 21 points d'observations répartis comme suit et représentés dans la carte ci-contre (Fig.8).

Points de contrôle : 1973	
N° du point	Occupation_du_sol
1	Ombre

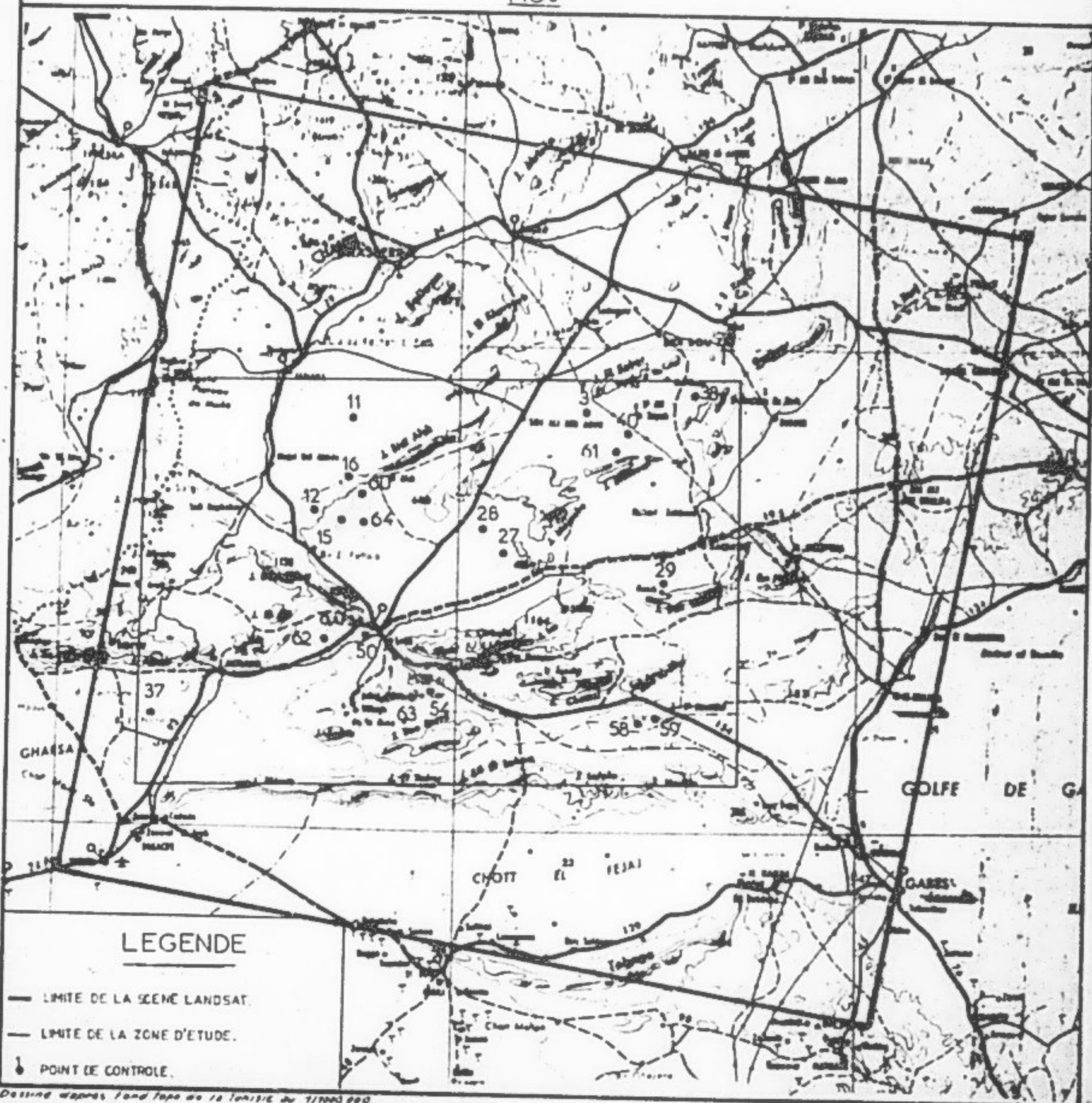
	Decapreson dd mos
1	Ombre
3	Sol mu
11	Alfa
12	Alfa dégradé
15	Orgé
16	Orge peu dence
27	Sol nu
28	Sol nu
29	Cactus
37	Sol sypseux
38	Périnètre irrigué
40	Arboriculture
50	Oasis
54	Sol salé
58	Sol salé 3
59	Sol,salé 2
60	Oued
61	Arboriculture et
62	Bord céréales
63	Sol salé 4
64	Oued

Le classement détaillé final adopté pour l'image 1973 est le suivant :

- 1.- Cultures
 - Oasis
 - -. Bord des Ossis ou périphérie des ossis
 - Périsètre irrigué.

LOCALISATION DES POINTS DE CONTROLE: IMAGE 1973

FIG 8



- Céréaliculture
- Arboriculture en sec et céréaliculture
- Arboriculture en sec
- Cactus dense.

2. - Parcours

- Alfa dense
- Alfa dégradé
- Parcours
- Parcours degrade

3.- Parcours sur sols salés

- Sebkha & neppe afflourante
- Schkha & humidité marquée
- Sols salés à végétation halophile dense à moyennement dense.

4 .- Données complémentaires

- Fond d'Oued
- Ombre et non classé.

Toutefois, même après cette simplification et en comparant la carte obtenue à l'image Landsat, à la carte manuelle et à notre commaissance du terrain, nous avons remarqué que beaucoup de confusions existent encore :

- de l'alfa qui apparait dans les sols de sebkha
- de l'alfa dense qui apparait en zone montagneuse dans le Sud.
- des périmètres irrigués qui apparaissent vraisemblablement à la place de céréaliculture, notamment dans la zone Nord-Ouest.
- une partie des parcours dégradés qui apparait confondue avec les fonds d'Oueda.

Coci nous a amené à établir une autre carte appelée carte de classement synthétique.

2.3. - Classement synthetique

En gardant les mêmes points d'observation pour 1973, nous avons procédé à un regroupement des classes qui étaient apparues confondues et nous avons abouti à un classement de densité de végétation. Nous avons obtenu 10 classes réparties en 5 grands ensembles.

- 1 Vágétation dense
 - Ossis
 - Părimătre irrigué
 - Céréaliculture
 - Alfa dense
- 2 Végétation moyennement dense
 - Végétation des sols salés/alfa dégradé/cactus/fond des oasis/arboriculture en sec et céréaliculture/
- 3 Vágétation éparas.
 - Arboriculture en sec/Parcours
 - Parcours dégradé/fond d'Oued
- 4 Sebkha
 - Sebkha à nappe affleurante
 - Sebkha à humidité marquée
- 5 Autres
 - Ombre et non classé.

Pour la partie de l'image 1980 jugée exploitable (bonne superposition à celle de 1973 et absence de nuages) nous avons choisi des points d'observation répartis sur différents types de relief (comme celà a été fait pour celle de 1973).

Relief	2 2	Pépression			:	Plaine			Pienont			. Montagne					
		Groupe		:p.d'o		peroup		d'ot	,	Grouped.		o. 'obs.	:	Grou	ρė	roint	
	1		:		1		•		1		:		:		1		_
Ombre	:	-	:	-	:	-	1	-		-	ž	-	:	11	:	12	
Alfa dense		-	:	-	:	20	:	21		17	:	18	:	15	:	16	
Alfa degrad	ė	-	:	-	:	19	:	20	:	16		19	:	16	:	17	
Cáréales	:	5	:	. 7	:	22	:	23	*	10	:	11	:	-	:	-	
Parcours	:	3		3	:	7	:	4	:	6	:	5	:	21		22	
Parcours	: :	-	:	-	:	9	:	10				9	:	-	:	-	
Sol nu	•	4		6	•	14	:	15		12		13	:	13		14	
Sols salés	į	1	:	1	:	-	:	-	**	-	:	-	:	-	:	-	
Sols salés	2	. 2		2	:	-	:	-		-	:	-	:	-	:	-	
	•				:		1				:		1				

Ces classes ont été regrounées en 7 correspondant à trois unités de végétation.

- Vágétation dense

- 1 Céráaliculture
- 2 Alfa dense/végétation des sols salés

- Végétation moyennement dense

- 3 Vagetation des sols salés/alfa dégrade
- 4 Arboriculture en sec et céréaliculture.

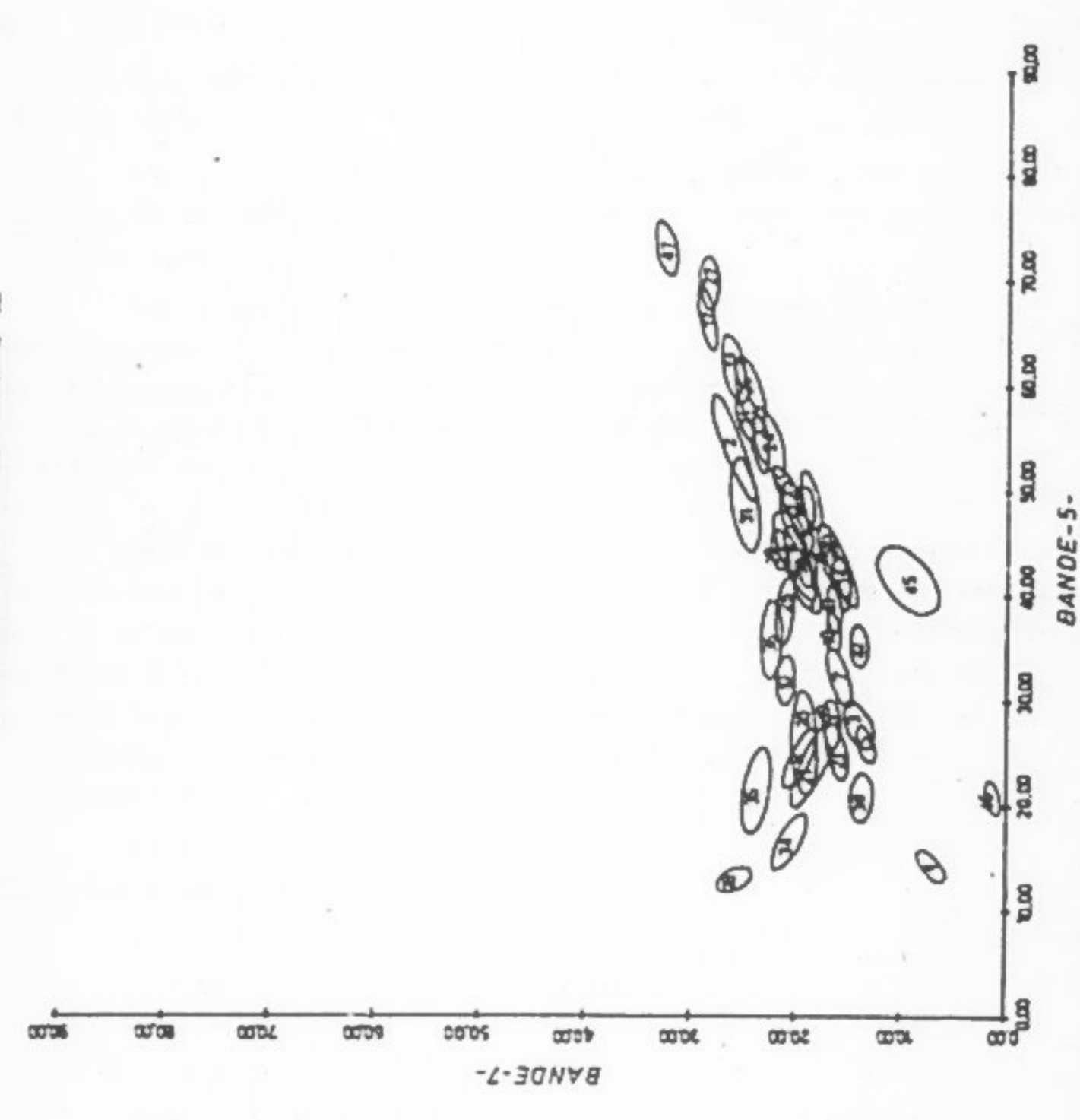
- Végétation éparse

- 5 Arboriculture en sec/ narcours
- 6 Parcours dépradé/vépétation des sols salés/fond d'Oued.
- Autres . Ombres et non calsade

3.- Discussions sur le classement automatique

Afin de mieux cerner le problème de séparation des différentes classes et de mieux comprendre notamment la confusion qui peut exister entre certaines d'entre-elles, nous avons tracé des graphiques.

Pour celà nous avons ovéré un changement de variable sur la valeur noyenne de la reflectance et traité les quatres bandes deux à deux.



Les variances pour chacune des bandes étant dans 4 directions, nous n'avons considéré que les deux plus importantes à savoir la première et la deuxième direction, de façon à travailler sur un plan. Le changement de variable a été fait de façon à exagérer les différences de réflectance entre classes et donc de mieux les aéparer sur graphique.

Ces opérations ont été faites par l'ordinateur. Celui-ci nous a donné: les graphiques ci-joints.

L'analyse de la première série de graphiques; qui correspond aux 40 classes initiales, nous pormet de constater une grande confusion entre les classes. (Pig.9).

Par exemple, lorsqu'on analyse le graphique donnant les images représentant la reflextance noyenne entre les bandes 5 et 7, nous constatons qu'à part quelques classes telles que les zones d'embre, certaines zones de sebkhas et à une noindre échelle la céréaliculture, toutes les classes présentent entre elles des confusions.

Une séperation plus nette apparaît lorsque nous avons réduit les classes à 16 (Pig.10). Ceci apparaît lorsque nous examinons le graphique correspondant aux bandes 5 et 7. Nous pouvons constater à cet effet qu'il existe une corrélation positive entre les deux bandes dans le sens de la diminution de la végétation et une corrélation négative dans le sens de l'intensification de l'agriculture.

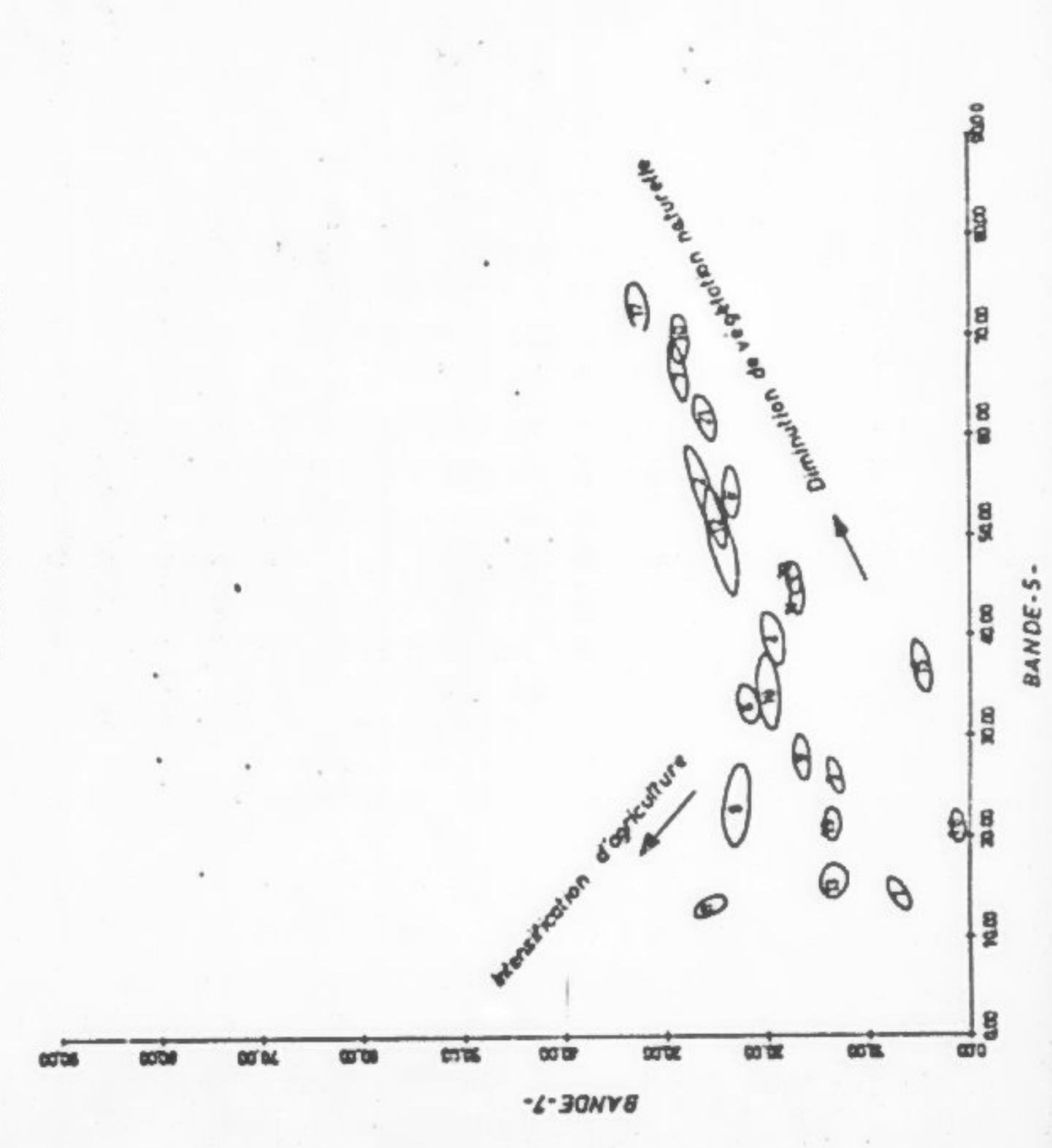
Toutefois, là encore, il existe des confusions entre certaines classes :

- arboriculture en sec/parcours
- parcours/ parcours dégradés
- arboriculture céréaliculture/alfa dégradé/parcours sur sols salés à une moindre échelle.

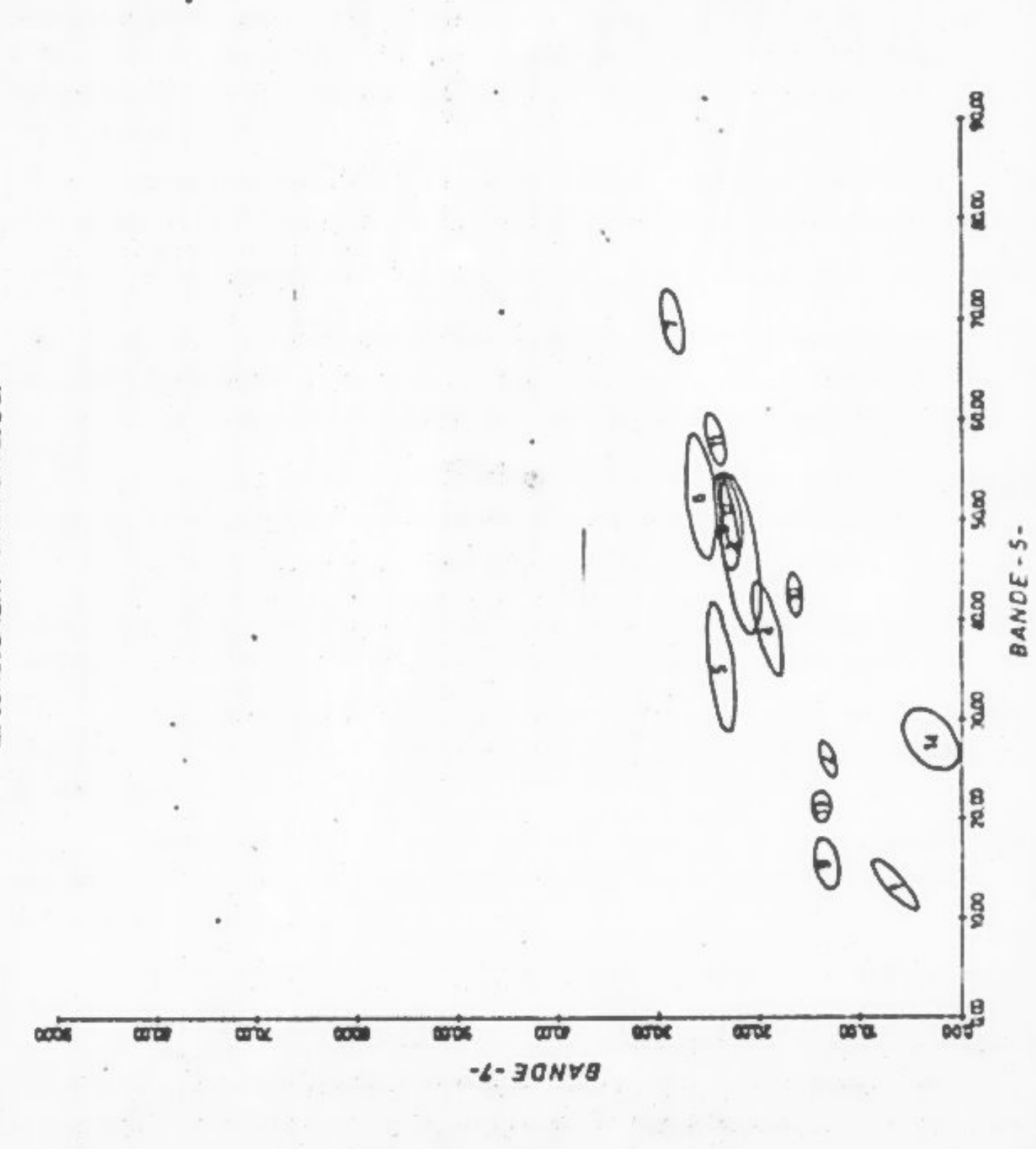
Ceci nous a amené à condenser encore les classes par densité de végétation.

Mais comme le montre le graphique (Fig. II) certaines confusions persistent encore, notamment entre vérétation noyennement dense et éparse (arboriculture et céréales avec arboriculture parcours dégradés et alfa dégradé).

- CLASSEMENT DETAILLE -



- CLASSEMENT SYNTHETIQUE -



III.- L'étude dischronique de l'occupation des sols par les images Landast :

Un des avantages reconnu au système Landsat est la continuité dans l'acquisition des informations. Tout les 18 jours le satellite réalise la couverture complète d'une région déterminée permettant ainsi l'étude de l'évolution d'un phénomène quelconque du milieu naturel. Les photographies aériennes sont prises à une échelle annuelle et ne sont utiles ainsi que pour l'étude des évolutions à long et moyen terme. Les images Landsat permettent des études saisonnières et conviennent ainsi aux études des évolutions à court terme.

Théoriquement, il est possible de réaliser des études d'évolution de l'occupation des sols en suivant plusieurs méthodes.

- La première étant la méthode automatique. Elle consiste l :
- a) faire la classification des 8 bandes (3 bandes pour chaque année) ensemble, de telle sorte que le résultat final serait une carte ou chaque tache désigne une tendance quelconque d'évolution.
- b) réaliser une classification indépendante pour chaque année et comparer automatiquement les deux cartes obtenues.

ou les deux cartes obtenues par classification automatique.

- La seconde étant la méthode photographique.Elle consiste

 c)- comparer visuellement les deux images fausses couleurs
- d) réaliser une image par combinaison colorée de bande sur laquelle chaque nuance de couleur désigne une tendance quelconque d'évolution.

Dans le cadre de notre stage, notre choix s'est porté sur les méthodes a et d qui ont été, fante de terpo, les seules appliquées à la région étudiée.

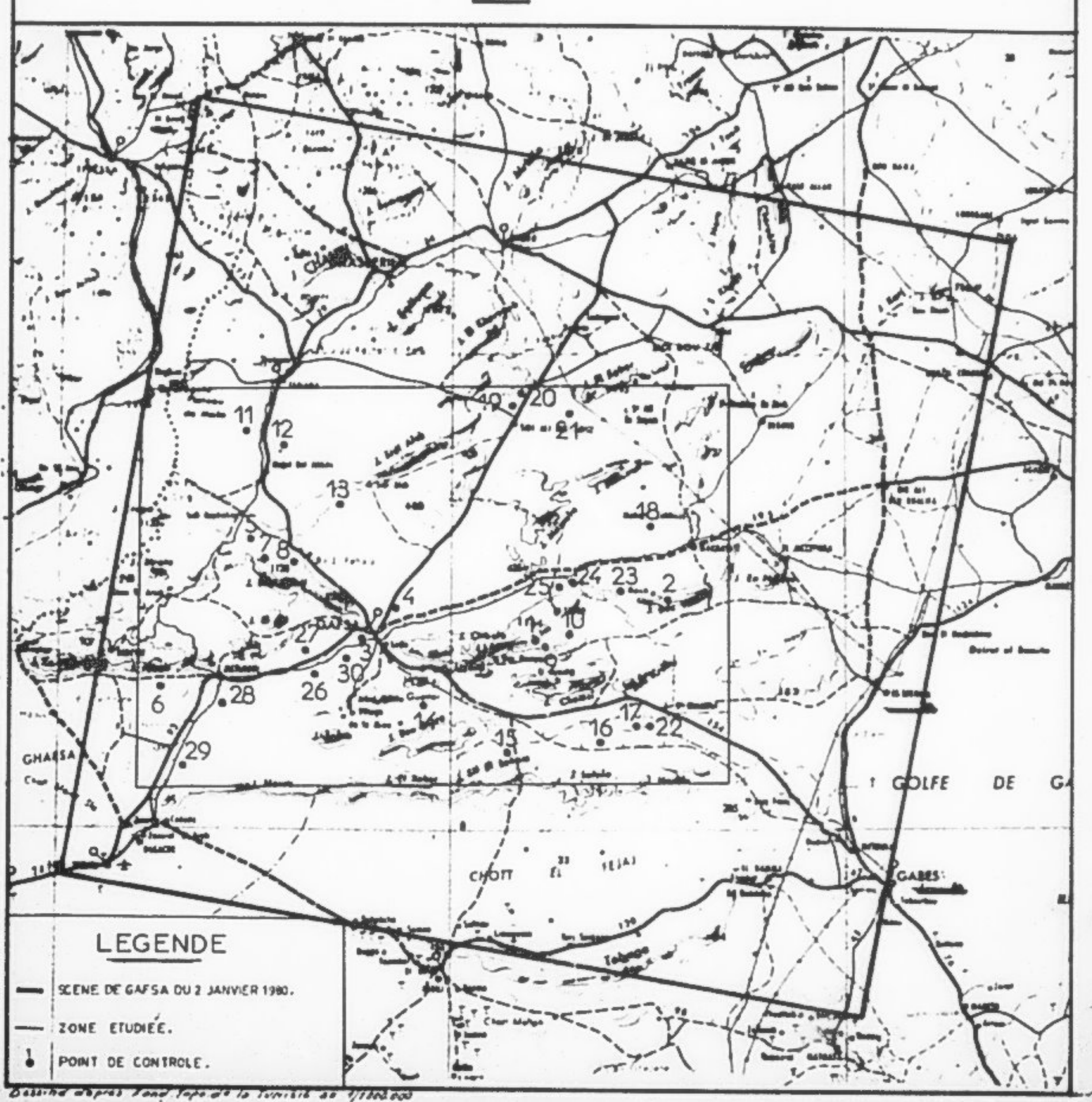
1/- Classification des 8 canaux correspondant aux scènes de 1973 et de 1980.

Les deux scènes précédement corrigées et restituées ont fi été superposés automatiquement pour avoir une seule images multispectrale à 3 bandes dont le principe d'interprétation est le même que pour une scène individuelle. 30 échantillons d'apprentissage ont été localizés sur l'écran et enregistrés par l'ordinateur après vérification que chaque échantillon correspond au moins à 50 pixels pour qu'il soit statistiquement représentatif de toute la scène. On trouve leur identification dans le tableau suivant :

H *	· Identification	N*	Identification	N *	Identification	
1	Ombre	11	Alfa dense		Alfa + céréal	
2	**	12	Alfa dense		Veget.des Cho	
3	Oasia	13	Alfa		Agriculture	
4	Arboriculture	14	Végétation de	24	* 2	
5	Cărănles	15	Chott Céréale dense	25	" 3	
6	**	16	Cáráale	26	Sols salés	
7	Arboriculture et céréales	17	Vágétation des		Sols alluviau	×
8	-	18	Chotts. Apriculture mis	28	Sols gypseux	
9	Végétation de montagne	19	Apriculture mix		Sols gypseux Sol éolien.	
10	24	20				

La carta de la figure 12 donne leur répartition à travers la sone étudiée. La classification a été faite par le même programme d'ordinateurs qui a servi à la classification des scènes individuelles (PDP 1170). Tous les pixels qui ont les nêmes caractéristiques énergétiques que ceux d'une des 30 classes ci-haut ont été identifiés et classes dens cette catégorie. Le tableau de la figure 13 présente le degré de précision de la classification . Il se dégage que toutes les catégories d'occupation des sols ont été classés avec un degré de précision acceptable dans 30 classes indépendantes. Pour l'échantillon n°1, le tableau montre que 1 % des pixels sont non classés, 7 % le sont dans la classe 1, 85 % dans la classe 2,1 % dans la classe 6 et 6% dans la classe 10. Le programme donne en plus un autre tableau des valeurs de moyennes des 30 classes pour 15 situations différentes (Fig. 13). Il y'a lieu de signaler que Green 73 désigne le rapport des valeurs de la bande 7 de l'année 73 sur celles de la bande 5 de la même année. Brit 73 désigne la somme des deux valours. Ouant à Green HG et Brit HG, ils désignent la différence des valeurs de Green et de Brit pour les années 73 et 80. L'objet de toutes ces recherches est de séparer les classes les unes des autres sur différents produits et de déterminer leur évolution entre les deux dates. Les diagrannes des figures 15 et 16 présentent la répartition des moyennes de classes dans

LOCALISATION DES POINTS DE CONTROLE Fig.12



SATEGORIZATION TABLE 58-47-65 10150141 PEJECTION LEVEL .S.A STANDARD DEVIATIONS MOV #1P NUMBER OF GROUPS . TA NUMBER OF MANOR DELETED # 2. BANDS RELETER + " 9" 18" THE PERCENT CATEGORIZED AS GROUP SET 4 5 6 8. 95. 99. A. 0. 0. 3. 43. 43. 7. 4. 8. p. ٥. 3. 20. 1. 1. 1. . 5. 5. 8. 11. 0. ..57 0. P. 0. 5. . P. . . 0. 39. 1. 1. 17. -- P ... 0. A . -0. 9. P . 0. 15. 30. 8. 12. --- p; . . 13. -------- 7. -1. - 64. 9; 6. 6. 0. 5. 5. - 0. 15. 5. B. P. A. -- A. 18 29. 9, 19. 2, 17. 0. 2. 5. . R. 11 - · · · 0. ... 5. 1. 5. 93. P . 15 5. 73, 3. 0. 8. 13 A. . 0 8. 61. 8. A. 0, ___ 8. - 9. 8. 8. ... 0. . 65. 9. 8. e. 12. ... 15 4. 0. 8. ... - 0; 0. . ø. n. A. . . . 1. 8. 8. ₿, 0. 8. n. 8. -0. - · A . 8. p. P. . . . A. A. 9.9. 0. . 8 0. 8. 12. P. A. 18 0. 0. А. я. --- p. A. 8. . 0 . 8 A. 19 1. 8. 19. 5. 14. A. 1. 0. 5, . 0 8. 1. 4. 14. 7. - 0. 12; 8. 1. 1. 8, 8. 2. 7. 15 5. 27. 9. 21. 3. e. 3. -0. .9 P . A. P. 0. A. a. 8. 0. 8. A. 1. 6. 0. 4. 0. 6. 0. a. 3. Я. 5. 1. 8. 8. . n. A. A. . . 0. 0. 3. 0. 16. ñ. 1. 1. 3. . 0 n. . 0. n. 25 0. 9. 0. 8. 1. 0. 3. .9 6. R. О. 0. я. 8. A. P. n. 1. 0. a. .9 3. P. . 27 P. P. P. . 19 9. 2. P. 24 a. 3. п. 8. 8. 7. 29 А. 3. a. . 0 30 P. THE PERCENT CATEGORIZED AS GOOUP - 31 ... 35 1 28 74 21 PA

38.

5.

e,

3.

1.

2.

1.

12.

8.

.

.

a.

3.

a.

8. 8. 2. 27.

FIG. 13 - EXTRAIT DU LINTING DE LA CLASSIFICATION DES 8 CANAUX

VAPIALLES	BY CASE FROM EXTRAIT DU LE				
CASE#	TOPS - EXTRAIT DU L	ATION DES 8 CANAG	1 1		31
12.	NOCLOBO GREENCHG BRITECHG	BOJANOO B7JANO	O GREENS	enlie/3	HEEMBG
33,800	36.800 28.100 31.900: 28.100: 21.400 7.17.400	21.200 16.40	1.0600		,44253
32,900	1 11896 -19.008 - 18.000 - 18.000 - 18.000	19,400 14.30	.85121	31.990	.765±3
73,800	024948 -11.800 -11.800 . 29.700	44,100	1,75	-5.600	\$ s
9.4.500	_0	56,700 55,700	1,2/3	110.40	1.43 %
111,20	58,900 56,600 74,300 74,300 774,300 774,300	68.200	1,510	141.50	F- \$648
78,000	77.300 83.000	50,500 54,300	1,312	110.40	1,2025
120,10	78.700 85.800 78.800 78.800			137	1.0797
119.70			.996	157.10	1.0323
97.600	13/945 -1 -44.2007	50.000	1.643	, 8 6	1.6
96,900	56 200' 60.500 63-500 SO TOD : 36	50.400	1,0/-	184116	
12	68.100 82.200 86.000 78.200 89.300	42.300	.9861	117,50	23-17
103,30	70 700 72.400 75.900 85.300	51.700	.9513=	140.40	12.9
118.20	1 .17661 -1 -62.500 50.900	.900 58,500	55563	klu, in	- 19

un système d'axes dont les coordonnées sont la bande 5 et 7. Il est possible d'inaginer que le point n'est que le centre de la classe et qu'elle est éntourse par un cercle de points (dont le rayon est égal à l'écart type) appartenant à la mano classe. Les deux diagrammes montrent une corrélation positive indiquant l'accroissement de la densité de la végétation si on ne tient pas compte des échantillons 27 - 30 - 28 et 29. Les plus fortes valeurs pour la bande 7 sont celles de la scène 1973 indiquant une densité plus élevée de végétation. En plus du décalage dans le temps de la prise des 2 inages (Pévrier et Janvier) influançant l'état phinologique de la plante, ceci indique que le début de l'année 1980 était sec. Les deux autres graphique 8 et 9 nontrepune correlation double avec accroissement de la densité des cultures dans le sens vertical et celle de la végétation naturelle dans le sens horizontal .. L'idée avancée concernant la socheresse de l'année 1980 est confirméenais il est étonnant de ne pas constater compe corollaire un accroissement des valeurs de brite 73.

Le dernier diagramme est synthétique. Il résulte de la comparaison de valeur de verdure (Green) et de luminiscence pour 1980 et 73. Théoriquement toutes les classes de la case I indiquent un gain de verdure, celles de lacase II impliquentune perte de végétation ou des situations stables.

Faute de temps et d'argent il n'a pas été possible d'obtenir la carte des changements correspondant. À toutes ces investigations qui restent théoriques tant qu'une vérification sur le terrain n'a pas été faite.

Une autre méthode dite photographique a été essayée.

2/- La methode photographique :

Elle consiste à obtenir une image en composition colorde à partir de 3 bandes de scènes différentes. Pour la zone étudiée la combinaison le plus significative était la suivante :

Année	:	Bande	:	Filtre
1980	!	7	:	Pouno
1980		5	,	Vort
1973		. 5	1	Bleu

Il en résulte une image dont les tâches colorées indiquent différentes situations d'évolution de l'occupation des sols entre 1973 et 1980. Les interprétations ultérieures ont nontré que le couleur jaune implique une perte de végétation en 1980 par

1	15,000	27, 778	0,556	\$3,233	66,111	78,990	91,667	164,44	117,22	BSFEB73 130.00			
,000													
,m	•												
	•	- 6											
,222	+												
	•												
, 333													
4,444	+				0								
					1	7						TARK VI	,
,596	•			1			22						
	. +				*				3 4 1				
8,667	+		1		, 4	4 5 1 1	*						
	+					. 9	347	7				1 No. 1	
7,778			. 8				. 8					-	
	•				1,700				2 n				
0,000				11 - 1					2,,	Še.			
				14		- 4				20			
0,00	•				the state					29			
ATTER F	N = 30	OUT OF 30	4.87FE 073	VS, 2,85	FENT		2		LES	BANDES 5	E DES SIGNA E77 -1973.		

	5.000	12.770	46.55 ₀ 64.771 53.333	78,609	667	117,22	BS JAN 80 130.00		
10.000	*								
	. 1								
21.111	•	***							
	•								
32.272	+								
	+ -								
43.333	٠	7	1 7						
	+		10.2						
54.44	+		* * *			*			
	٠		20 11 19	**					
65.556	•		. §	16,77° 38					
				10					
76.867				27,30	29				
87,778									
96,440	•								
87 JAN 8 110, 10			8 87 JAN 80 VS. 8.85 JAN 80			DES RANDES 5 ET	7 _ 500_		Etq.
SCATER	M - 50	CASES-ALL	NTERVAL (10.110), (15, 15C) >	- 3/_	FiG 16	REPRESENTATION (RAPHIQUE	DES SIGNATURES SPECTRALES	. +.

rapport à 1973. la couleur violette un gain, la couleur rouge à margon la présence de végétation et la couleur blanche l'absence de végétation pour les deux dates. Il n'est pas possible sans vérification sur le terrain de pouvoir indiquer le type de végétation en question. Des recherches ultérieures effectuées par le laboratoire de télédétection pourraient éclaircir ce point. Toutefois l'intérêt d'une image pareille dite multitemporelle est évident. Rien que pour la partie présentée dans ce rapport à titre e'exemple (Fig2é), des quantités d'informations peuvent être tirées concernant les superficies occupées par l'orge, l'Alfa ou le cactus en 1973 et 1980. La différence d'évolution de la végétation naturelle indique la susceptibilité des sols à la sécheresse qui a sévi au début de l'année 1980.

IV .- DISCUSSION ET RECOMMANDATIONS:

Le stage que nous avons entrepris à ERIM a été uti
Il surait pu être, encore plus avantageux si on l'avait poursuivi
à ERIM svec l'expert qui avait commencé le travail à Tunis à
savoir Mr. R. LAURIM. Celui-ci, étant affecté au Mali, a cédé sa
place à un autre expert aussi compétant Mr. SADOWSKI. En plus
l'achat par ERIM d'une image du Centre de la Tunisie dont le 1/4
environ est couvert de nuages nous a posé des problèmes de changement de la zone d'étude, particulièrement pour l'interprétation
de la scène de 1980 et de l'image multitemporelle.

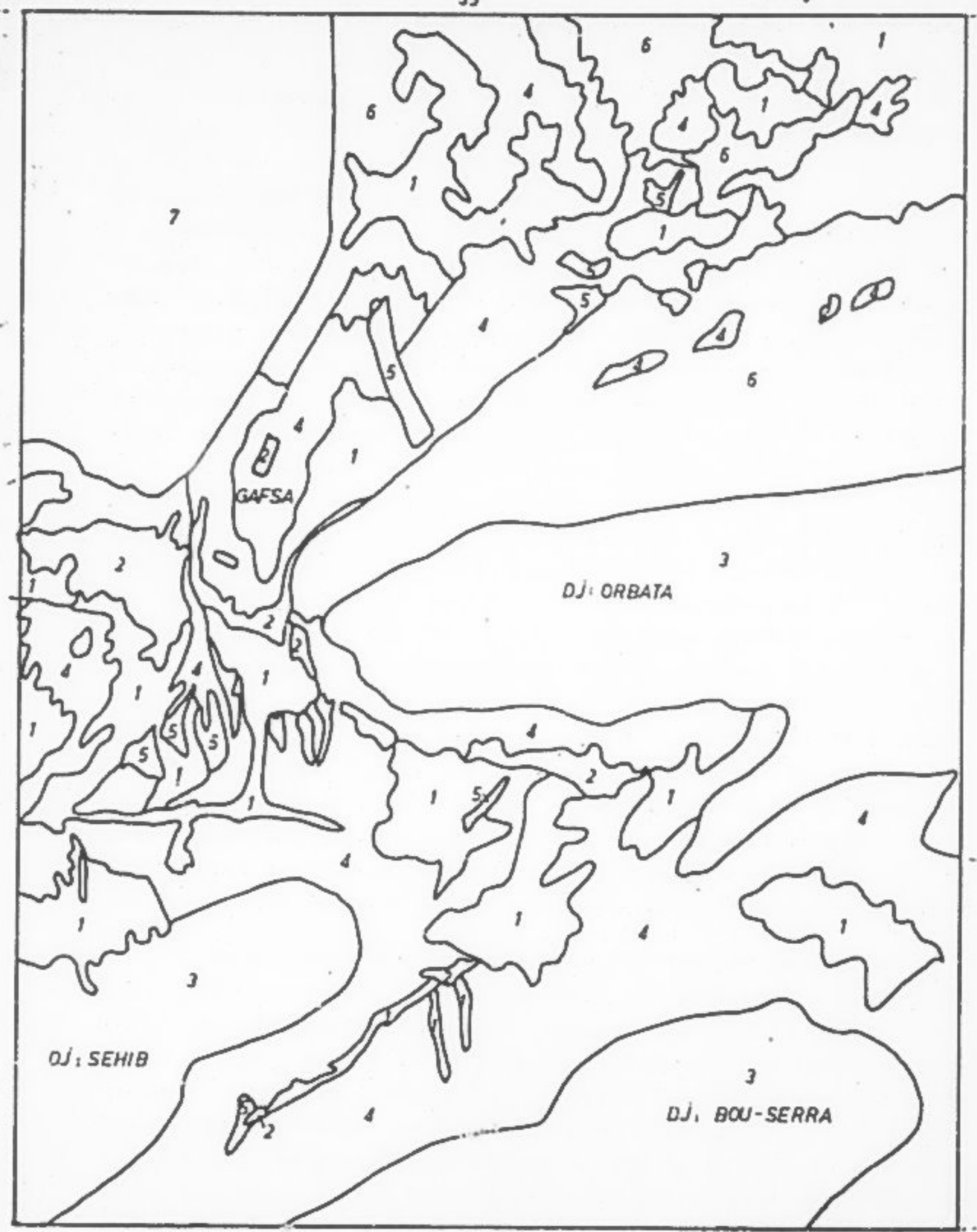
Nous traitons successivement les points suivants :

- L'utilité de l'interprétation nanuelle
- L'apport de l'interprétation automatique
- Comparaison des deux méthodes.
- Comparaison de la cartographie de l'occupation des sols à partir d'image Landsat et des photographies sériennes.

1/- L'utilité de l'interprétation manuelle des images Landsat pour la cartographie de l'occupation des sols.

Nous avons discuté de la méthodologie de la cartographie manuelle de l'occupation des sols à partir d'images Landsat en 2° partie.

Nous avons vu que la conception d'occupation des sols devrait être prise au sens le plus large et s'approcharéreraquent des conceptions paysagistes ou intégristes des géographes modernes.



--- F/G:20 - Extrait de la carte multitemporelle (1973-80) de la région de gatsa ou 1/200.000°.

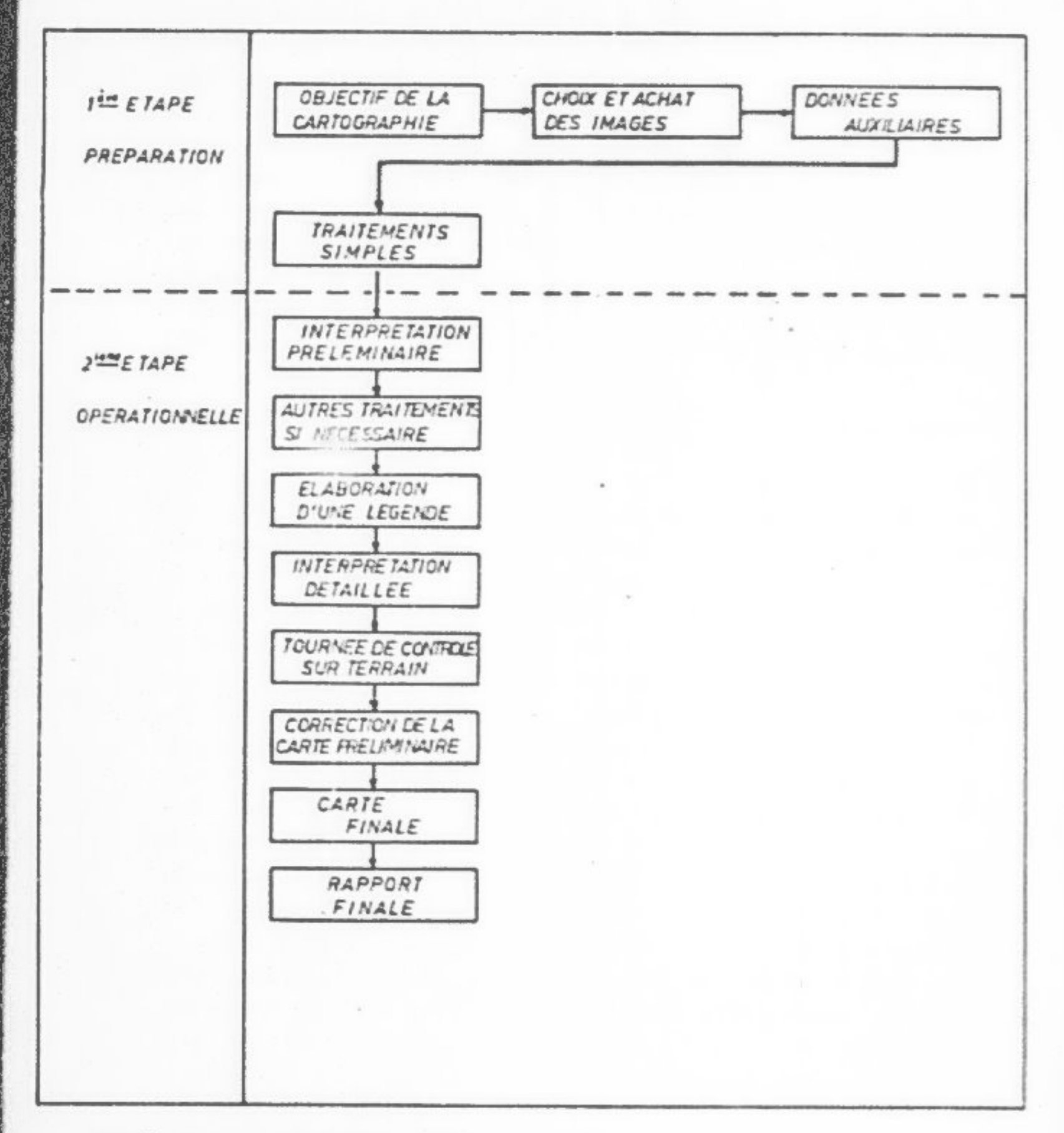
- 1 Perte de végétation entre 573 et 60
- 2 Présence de végétation
- 3 Montagne :-
- 4 Absence de végétation
- 5 Gain de végétation
- 6 Complexe de Set1
- 7 Nuage

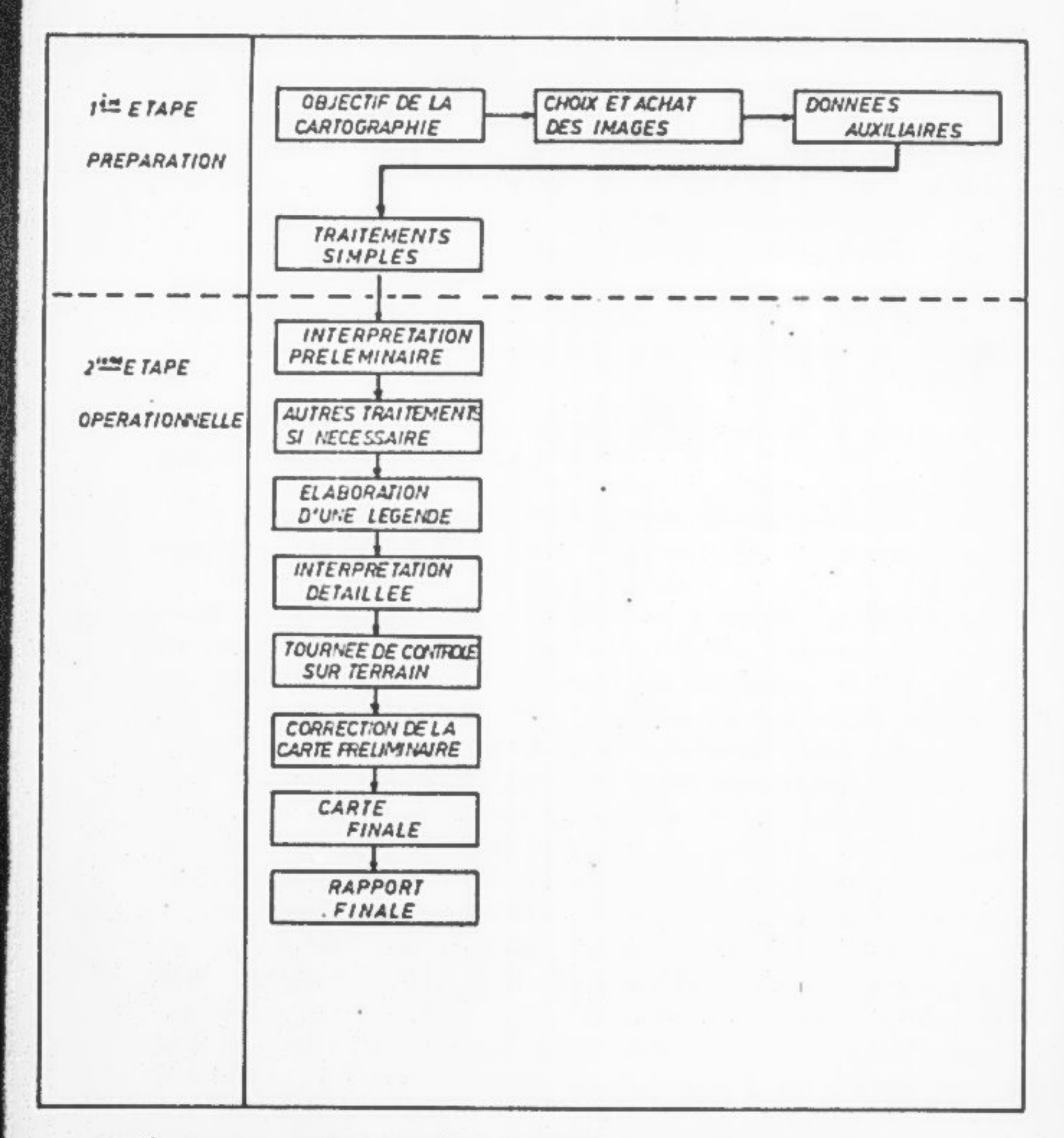
Quelquefois c'est le sol nu qui détermine la nature de 272 la reflectance et d'autres fois c'est la végétation ou un gombre complexe de végétation et de sol. La résolution du système Landsat impose que la densité des phanomènes et leur fréquence à la surface de la terre revêt une importance particulière. C'est pourquoi on a l'impression quelquefois d'avoir la densité de la végétation que sa nature. Ce dernier aspect apparait difficile à résoudre sans l'apport des données auxiliaires tellement les confusions sont grandes : cas de l'arboriculture de la rágion de Maknassy Sidi Bou-Zid qui apparaît dans le mêne ton que les sols nus environnants à cause de la faible densité des arbres. Le nombre de classe 39 que nous avons distinguées sur la carte de notre région étudiée apparait dépasser de loin les possibilités raelles de l'image Landsat. La connaissance du terrain et l'existence de documents divers sur la région nous a nermis d'arriver à celà. Normalement il apparait difficile de dénasser 4 à 6 classes 1 1'échelle de 1/1.000.000° (U.HELLDEN 1980- GENDEPN 1977 -CEPE, CNRS 1978) qui peuvent être ramenées par exemple à 10 au 1/200.000°. Le degré de précision de détection des différentes classes n'est pas égale. La cartographie de l'orge et de l'Alfa est de loin, plus facile que celle de l'arboriculture par exemple. Ceci net en valeur l'intérêt des images Landsat pour la cartographie thomatique. Il est possible, par des améliorations et des traitonents de l'image, d'arriver à isoler un ou deux thèmes seulement dont le degrá de prácision de cartographie sera meilleur.

Etant donné que la Tunisie ne dispose pas du cartes d'occupation des sols, il est possible de réaliser une couverture au 1/200.000° partir des images Landsat. Ce travail pourrait se faire parallèlement à la réalisatic des cartes des ressources en sols du pays au 1/200.000°.On pourrait commencer par les feuilles de Gabès, Bizerte et Tunis qui sont déjà publiées.

La méthodologie proposée est résumée dans le graphique 12 de la page ci-contre. Plle s'inspire beaucoup des travaux de GENDERN 1977, U. HELLDEN 1980 et CRIES project 1979.

2.- L'apport de l'interprétation automatique : La valeur de cette opération dépend de la qualité de la bande Landsat, de l'efficacité du programme informatique et de la précision dans le choix des échantillons ou sites d'entrainement. Nous avons vu e que 11 aussi, la combinaison des 3 bandes 4, 5 et 7 donnerait les meilleurs résultats. Il a Sté démontré aussi que statistiquement



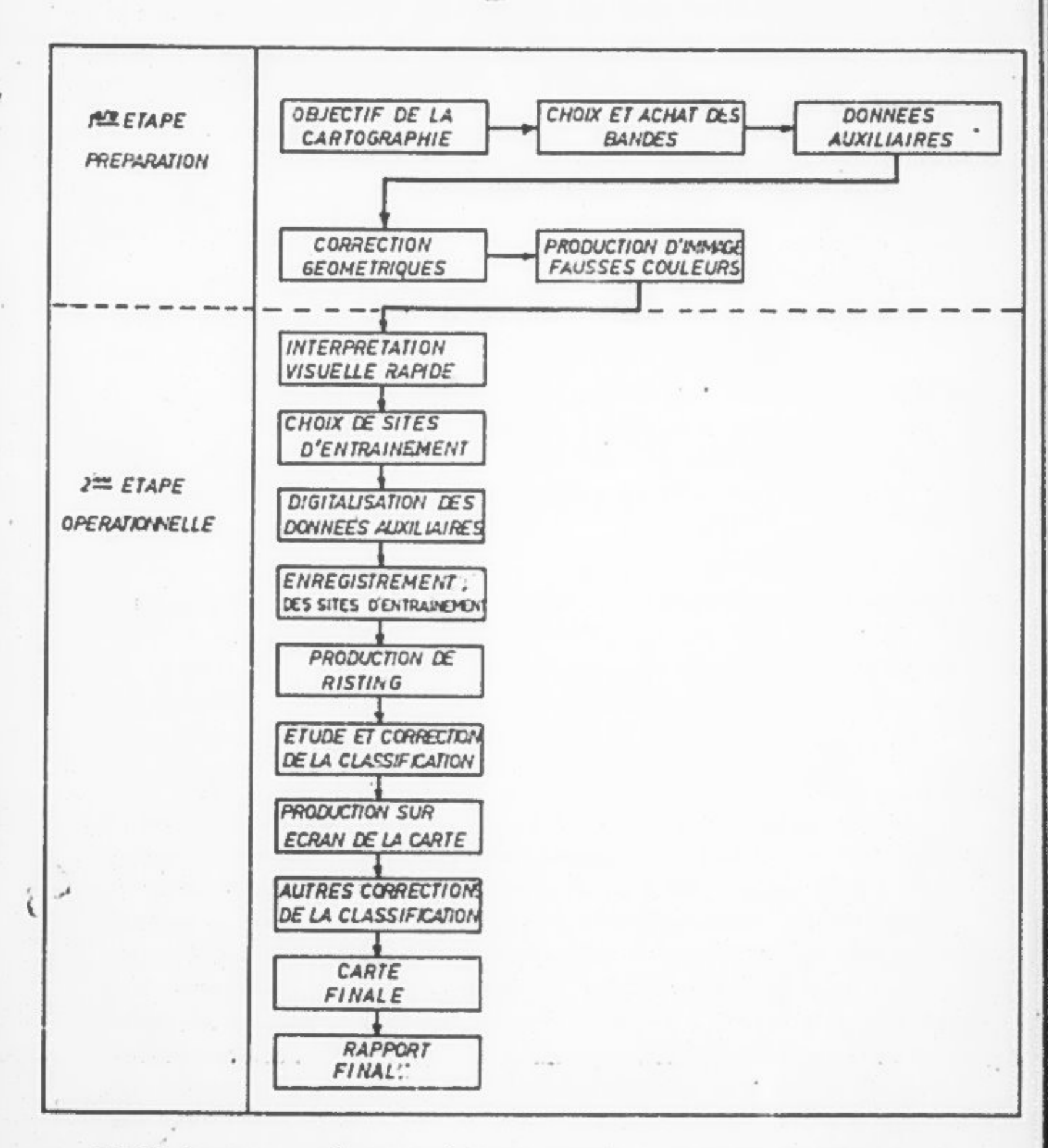


— FIG.21 - Diagramme représentant la méthologie proposée pour la cartagraphie de l'accupation des sols a partir des images LANDSAT.

la correlation des bandes 5 et 7 donnerait la meilleure différenciation entre les classes. Les diagrammes montrent une correlation positive entre les valeurs des 2 bandes indiquant la densité de végétation. Lorsque les confusions entre classes sont très grandes, il y's lieu d'associer des classes ou de choisir de nouveaux sites d'entrainement. Parfois on doit associer des classes très différentes comme l'Alfa et des végétations halophytes. La séparation de ces classes ne sera possible qu'avec les données auxiliaires qu'il est nécessaire de collecter dès le départ. Ceci met l'accent sur l'avantage de l'approche supervisée permettant un dialogue avec l'ordinateur sur la méthode non supervisée. Comme dans le cas de l'interprétation manuelle, certaines classes sont misux détectées que d'autres.

La méthodologie proposée nour l'interprétation automatique est résumée dans le graphique 13.

- 3.- Comparaison des deux méthodes précédantes : Les deux méthodes sont différentes à tel point qu'elles sont incomparables, ceci apparait étonnant. En effet chacune a présenté des avantages et des inconvénients. Le classification manuelle est synthétique, rationnelle et moins chère, la classification automatique est précise, quantifiable, chère et présente des confusions si elle n'est pas corrigée manuellement. Pour l'entimation de superficies la seconde apparait exclusive parce qu'elle tient compte même des plus petites étendues qui se trouvent obligatoirement incluses dans des associations de classes ou dans des classes plus vastes. Pour ce qui est de l'échelle aussi,il est possible avec la classification automatique de travailler à des échelles aussi grandes que le 1/50.000° ou légèrement plus. Ainsi tout dépend de l'objectif de la carte à faire. Lorsque les dépenses supplémentaires sont justifiéce, il faut toujours faire la classification automatique qui est rapide et plus précise. La carte manuelle obtenue par regroupement de classes de la carte automatique serait elle aussi plus précise et plus rapide. L'idée serait une méthodologie qui combine les deux methodes.
- 4.- Comparaison de la cartographia de l'occupation des sols à partir des images Landsat et des photographies aériennes. La comparaison, qu'on a projeté de faire dès le debut est entre les cartes classiques d'occupation de sols de Maknassy et de Périana



(Attia 1976) au 1/100.000° et celle obteuue par interprétation des images Landsat. La comparaison des deux documents bien qu'ils soient à des échelles différentes nous a permis de constater ce qui suit pour la région de Maknassy, Sidi Bou-Zid.

- La carte automatique apparaît plus détaillée bien qu'elle soit à plus petite échelle et ainsi se rapprocher plus de la réalité même les champs isolés de cactus dans la plaine de Sidi Bou-Zid ont été cartographiés.
- Il existe un certain accord entre les deux documents pour ce qui est de la classe chott, zones d'inondation ou végétation des sols salés.
- Il existe une nette surestimation des zones alfatières sur la carte automatique car une grande partie des champs d'orge de Nord de la plaine de Maknassy ressortent en Alfa alors que nour les montagnes la situation est presque la nême sur les deux documents (Alfa).
- La classe arboriculture en sec de la plaine de "aknassy correspond à queleues détails prés à la classe Arboriculture dominante oliviers de la carte au 1/100.000°. En choisissant de nouveaux sites d'apprentissage, et en exploitant les données auxiliaires, il est possible d'arriver à une classification autonatique plus précise.

En guise de conclusion, il est possible de dire que le projet "cartographie de l'occupation des sols " a été utile. Il nous a permis d'évaluer l'apport et les limites des images Landsat pour la cartographie de l'occupation des sols. La comparaison s'est avérée difficile entre les cartes obtenues automatiquement, manuellement ou à partir de photographies aériennes. Chaque document présente des avantages et des inconvénients. L'interprétation manuelle apparait la plus recommandé pour une approche globale. la classification automatique est la meilleure nour les évaluations statistiques des superficies cultivées et l'interprétation des photos aériennes est sans égale dans le cas d'étude précise à très grande échelle. Les approches sont plutôt complémentaires et l'emploi de l'une ou de l'autre dépend du cadre et de l'objectif de la cartographie demandée.

- BIBLIOGRAPHIE CONSULTEE -

- ATTIA (H.) 1977 : Les Hautes stepnes Tunisiennes...

 de la société pastorale à la société
 paysanne... thèse doct. es-lettres.
 Université de Paris V.*. 600 p.
- HELLDEN (H.) et STERN (M.)-1980 : Evaluation of Landsat
 imagery and digital data for monitoring
 desertification indicators in Tunisia.
 Proc.14 th.Int.Symp.in Rem.Sens.Of Env.23
 26 April 1980, San José.Costa Rica.
- LE FLOCH (B.)-1979 : Conclusions de l'expérience Arzotu Semin.

 Tel des Ress.Terrestres.Tunis 21 31 Mai

 1979.
- LE HOUEROU (HN.)-1969 : La végétation de la Tunisie Steopique Ann. de l'INRAT Vol. 42.Fasc.5. 622 p.
- U.S.Dépat.Of Agriculture 1979 : Development of a generalized

 Land cover/ use man of Syria through

 visual interprétation of Landsat imagery.

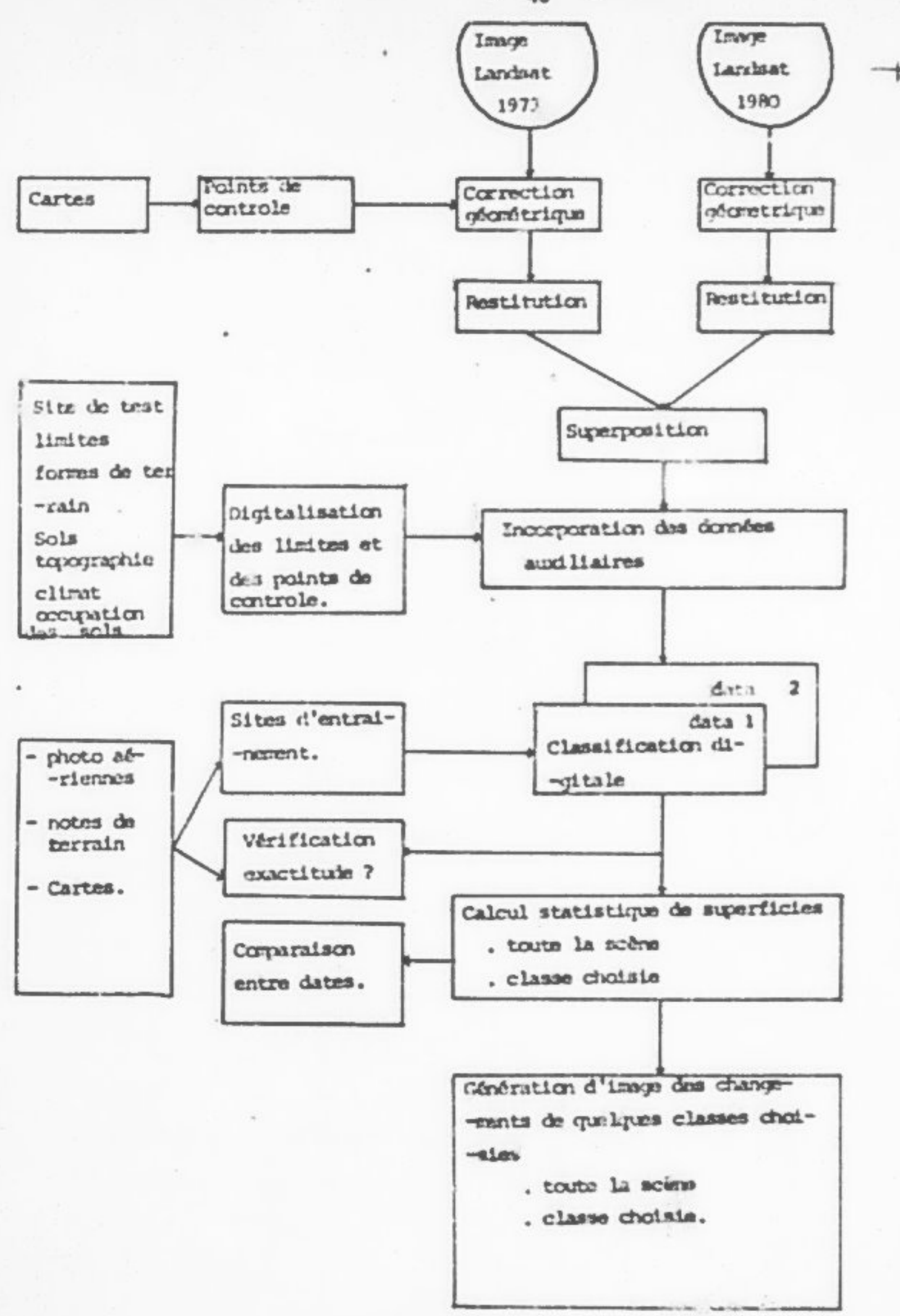
 Dec. 1979.
- VAN GENDERN (J.L.) 1976 : A Methodology for producing small scale rural land use maps in semi-arid developping countries using orbital imagery 270 p. London. Dept of industry.

- TABLEAU DES PIGURES -

1	-	(30	I	t	e		d	e		1	0	c	a	1 :	i	1 6	t	i	01	n	0	l e		1	n	1	. 0	n	c	-	ő t	u	d	i	E	e.											2		
2	-	1		8 8	g	e	5	L	a	n	đ	8	a	t		du	1	7	/	2	1	7 2	3	a	v	e	0	1	ó	c	4	li		a	t	i	01	1	d	le	1	1	A		E	0	ne	-		
3	-																																															3		
	-																																																	
	-	E	×	t	r	8	1	t		d	e		1	a.	(: 6	r	t	e		d	٠,	00	c	u	p/	1 1	i	0	n		10				0	11		d	e		1	8				1			
6	_																																																	
	-																																																	
	-																																																	
	-																																															3		
,	-	9	a	P		e	1	e	8		b	a	n	de	2 1	. 1	5	3	e	t	7	7	-		C	1	1 8	8	6	8	et	1 6	u	P	r	5 1	li	P	i	n	2	ī	r	1			2	3		
10	-	-		I	d	c	1		-	-	C	1	0 1		10	r	40	D	£	•	1 1	5 6	a	i	1	14	١.																				2	5		
11	-	-		I	d	e	=		-	1	C	1	8 1		16	B	e	n	t		1)	n	t	h	ć	t i	q	u	e																		2	6		
12	-	L	0	c	a	1	i	8		t	i	0	n	6	10			P	0	i t	1			d	e	c	: 0	2	t	ri	8 1	e			ul		1		i	D	a	50	e		8	0	2	9		
13	-	E	×	t	r	a	i	t		dı	u	-	L		t	i	n	g	-	ie	1	1	a		c	la	1 8		1	E :	ic	: 4	t	i	01	2	d	e			8		c	a	n	aı	ıx		31	0
14		Z	×	t	r	a	i	ξ		d	ц	1	L		1	í	D	g		ie		. 6	1	0	PI	p 6		d	e	1	ls		c	1	a		i	£	i	c		t	i	0			3			
15	-	R	•	p	r	é		e :		t i		t	ic) [1	g	r	a	pl	1	9	u	e		d	2 8		8	i	RI	na	1 6	u	r	e 1		8	P	•	c	t	r	a	1	c		3			
16	_																																																	
17																																																		
18																																																		
19																																																		
20		E	×	t	r	a	i	t,	(24	2		la	ı	c	a	r	t	2		u	1	t	i	te	200	P	0	r	0 1	11	e		1	9 7	13	-	8	0		d	c		1 :	3					
21		r	6	E	1	01		-	de		(3	11		a		a	u	1	1	2	0	0	. 1	0(00		*				*	*	٠					*			*		*		*	3			
		1	8	1	C	8	-	t	01	1	10	1	de	i			d	•	1	١.	C	c	C	u	P	3 8	1	0	12	6	le		1	8	01		1	2		p	4	r	t	i	2		le	e		
		1	13	8	8	8	8	1	Le	11	30	11	8 4	31			•	•				•	•	•																							4	1		
22	-	P	0	u	r	1	1	\$: 4	3 1		c	8	r	8	p	h:	10	1	d	e		1	٠,	00	c	u	p	2 5	i	0	n	-	de		-		0	1	g		h				4	3		

- PROGRAMME DU STAGE -

Dimancho	Lundi	: Mardi	: Hercred	i [†] Jeudi	Vendra-	
	:	:	1	:	: di_	: di
27 Avril	. 28	29	:30	1	1 2	÷ 3
		: Visite du	:Localisati	oň	Restitu	
	: des Stagi	-service des	1	4	tion et	
	, -aires.	traitements	le (Suite)	corpora	3.7
	Visite de			5	tion de	
	: 1'ERIM,	.Localisatio	'n		:données	
		des points		•	d'entra	
	données	: de contrôle		ī	nement.	
	:des trai-	pour la cor	÷			
	tements	rection geo	•			
		:métrique de	\$:	:	1
	:	inages	•			
	:	Landsat.	:			
		L		-1	.i	I
4	: 5	: 6	7	. 8	. 9	:10
	: Retour de		1	•		
	SADOWSKI	:	1	:	:	1
	de COSTA	1		:	,	
	:Rica	Digi	talisation	et incorpo	ration	*
		:	des données	Auxiliair	Ås	1
	Discussion	0		1	,	
	:du projet		:			•
		L	;	-i	1	1
11		: 13	14	:15	:16	:17
	: Sites d'er	ntrainement	Cour	e:		OF NEWSCO
	classific	tion digita	le	:Sites d'		
	(data	1)		pour cla		
	1		:	'digitale)
18		20	: 21		723	724
1	Production	d'images	Contrôle	de l'exact		:
	: (Labo pho	(ose	des clas	sification		
				-1	1	i
25		27	. 28	:29	:30	:31
	: Calcul St	tistique	Ditection	manuelle	et digit	ala
	Direction'	des chan-				:
	genents.	1		changement		1
Juin 1	2	3		15	1.	
	:		:4		6	[:] 7
	Discussion	finale et	radaction de	Tapport.	:	ż
	. :		•	:	:	:
	:					NT 11
			*		1	



ORGANICRAME DES ETAPES DU STACE

SUITIE IAN



MICROFICHE N



République Tunisienne

MINISTERE DE L'AGRICULTURE

CENTRE NATIONAL DE

DOCUMENTATION AGRICOLE

TUNIS

OHOI

الخنعورة النونسكية

المركزا لقومحي للتوثيق الفلاحي نوسس



- SON N A I R E -

I	INT		nu	CT	T	111	- 2																													1	
	1		ar	to	gı	raj	ph	i	e	13	a	n	10	1	1	0	d	0	. 3	1 '	0	C	C	u ş	0.0	t	i	01	1	d	0 1			0	ı	7	
	II	. 1	ra	it	er	3 e 1	n t		iı	nf	0	r	23	t	10	q t	10	1	d	0 4		i	0	8	; e	8	1	Le	n	1	6	1 8		•	• •	12	
		1.	-	Co	rı	re	c t	:1	01	n	c	6	00	ě	t	ri	q	u	e																	12	
			-																																		
		* .		de												1		•		-		-								-							
			2.	1.	-	E		10	i	d	G		11	R	i	te	1 1	1		21	ti	0	n		1 e	8	4	do	חכ	n	đ	2 6	1				
						P	Ed	0	1	og	i	qı	9 0	S				٠	٠					• 1			۰					• •				14	- 12
			2.	2.	-	C	10	8	di	82	8	n	11	0 6	t	(ca		t.	08	31	3	P	h	ia		81	41				t i	-			17	
				•		ě																															
			Z.	3.	-	C	14			9 12		n			y	nı	E (1)	e	£	10	qu	1 6	•	*	• •	•	•	* *	• •		•	• •	•	•	•		
		3.	-	Di		cu		i	01	n s		81	u E		1	0	C	1	a				e	n		A	u	to	00	a	t	ic	u	e		22	
	III	. 2	tu	de	. (di.	ac	h	r	on	i	qı	11 6		đ	n	1	,	0	c	ct	p	a	t	ic	n		de	8 8			0 1					
			ar	1	e		ie	10	2	0.6	1	L	8 5	d		81	t.			•	• •		•					•		٠	•	• •		•	•	27	
		1.	-	CI	a	8 8	11	i	C	n t	£	01	n .	d	0		8		c	81	na	u	×		cc	r	r	0 1	s p	0	n	de	10	t		2.2	,
																																				27	
		2.	-	La	1 1	36	tł	10	d		p	h	o t	0	8	21	a p	h	i	qı	ue	2 .	٠	٠			٠			٠	•			•		32	
	IV	- 1	is	cu	181	ı i	01	2	•	t	r	0	cc	12	=	aı	nd	a	t	i	01	٠.														38	,
			-																																		
		2.	-	L'	a	PP	01	rt		de	1	1	1	n	t	e i	rş	ı	á	ti	at	i	0	n	ŧ	u	t	01	3 6	. 2	i	Q1	10	١.		40)
		3.	-	Co	00	pa	r	ı i		or	1	d	Q 8	,	2	1		t	h	0	de	2 8		P	ri	ic	é	d	9 :	t	0	6				40)
		4	-	Co		DA	T	ı i		or		d		1	8				t	01	E 1	c a	D	h		,	d		1		0	C	cu				
				De	11	Lo	n	đ				0	11		3	1	20	IT	t	i	T	d	e	8	1		18	g	0 1	1	L	aı	nd		at		
				et		de	2	P	h	ot	0	8	20	ıp	h	1	2 1	1	4	ē:	F :	LC	n	מ	0 8	١.	•	•		۰	٠	•		•	•	40	,
Con	clus	iot	١.,																																	44	,
BIB	LIOGI	RAI	PHI	E		СО	H	su	L	TI	E																									45	,
Tab	le de	2 8	Fi	igu	ır	e s																														46	5
Pro	gramı	90	du	1 5	St	a g	e															٠.			• :											47	,
Son	mair	0																																		45	,

52

WUJES